



RÉPUBLIQUE DU BÉNIN
MINISTÈRE DE L'ENSEIGNEMENT SUPÉRIEUR
ET DE LA RECHERCHE SCIENTIFIQUE



UNIVERSITÉ NATIONALE DES SCIENCES, TECHNOLOGIES,
INGÉNIERIE ET MATHÉMATIQUES (UNSTIM)

ÉCOLE NATIONALE SUPÉRIEURE DE GÉNIE
MATHÉMATIQUE ET MODÉLISATION (ENSGMM)

MÉMOIRE POUR L'OBTENTION DU DIPLÔME D'INGÉNIEUR DE CONCEPTION

SPÉCIALITÉ : MATHÉMATIQUES APPLIQUÉES ET MODÉLISATION
OPTION : INFORMATIQUE,
LOGISTIQUE ET RECHERCHE OPÉRATIONNELLE

**Développement d'un jumeau numérique
pour le trafic ouest-africain:
Application à l'optimisation des feux
de signalisation par Apprentissage
par Renforcement**

Présenté par :

Elonm Josaphat AHOUANYE

Sous la supervision de :

Dr. Abel KONNON

Enseignant-Chercheur à l'INSTI/UNSTIM
Maître de Conférences CAMES

Sous l'encadrement de :

Dr. Ing. Régis Donald HONTINFINDE

Enseignant-Chercheur à l'INSPEI/UNSTIM
Maître-Assistant CAMES

Année académique : 2024 - 2025

Dédicace

À tous ceux qui ont contribué, de près ou de loin, à la réalisation de ce travail.

Remerciements

Mes premiers remerciements vont à l'**Éternel Dieu**, source de toute sagesse et de toute intelligence. C'est grâce à Lui que chaque obstacle a été une opportunité d'apprentissage et que cette recherche a pu aboutir. À Lui seul soient la gloire et l'honneur.

Je remercie profondément **ma famille**, pour son soutien indéfectible. Leur présence, leurs encouragements et leur patience ont été essentiels à la réussite de ce projet.

Sur le plan académique, ma reconnaissance s'adresse d'abord à mon **Encadreur**, le Dr (MA) **Régis Donald HONTINFINDE**, pour sa disponibilité et ses conseils avisés, ainsi qu'à mon **Superviseur**, le Dr (MC) **KONNON Abel**, pour son soutien scientifique. Leur accompagnement a été déterminant.

Je tiens également à remercier les instances dirigeantes de mon université : le **Recteur de l'UNSTIM**, le Prof. **Edmond Codjo ADJOVI**, et le **Directeur de l'ENSGMM**, le Dr (MC) **MOUSSA DJIBRIL Aliou**. Je remercie l'ensemble des **autorités et enseignants de l'ENSGMM** pour la qualité de la formation reçue. Une pensée particulière va à la mémoire du Prof. **Gérard DEGAN**, premier Recteur de l'UNSTIM, ainsi qu'au Dr (MC) **Christian AKOWANOU**, qui a accompagné la cinquième promotion de l'INSPEI.

Mon expérience professionnelle a été enrichie par mon stage chez LKA Services Bénin, et je remercie Monsieur **FONDZEFE Gerrish (BI)** et Monsieur **Marie-Parisius D. HOUESSOU** pour leur accueil et leur réel investissement dans l'aboutissement de ce travail.

Enfin, je remercie mes **camarades de promotion**, notamment **Yanel, Léonel, Jude et Fructeux**, pour les échanges fructueux et le soutien mutuel tout au long de ce parcours.

Que chacune de ces personnes trouve ici l'expression de ma profonde gratitude.

Résumé

La congestion urbaine représente l'un des défis majeurs des métropoles ouest-africaines en pleine croissance. Les systèmes de gestion du trafic traditionnels, basés sur des feux de signalisation à temps fixe, s'avèrent inadaptés face à la complexité et à la variabilité des flux de trafic hautement hétérogènes (motos, voitures, bus, camions).

Ce mémoire propose une approche novatrice combinant la modélisation mathématique avancée et l'intelligence artificielle pour optimiser la gestion du trafic dans des contextes de forte hétérogénéité. Nous développons un jumeau numérique pour le trafic ouest-africain, en se basant sur un cadre théorique rigoureux qui s'appuie sur les lois de conservation hyperboliques multi-classes, permettant de capturer la dynamique des différentes catégories de véhicules et leurs interactions. Le modèle proposé généralise les approches classiques (LWR, ARZ) en intégrant explicitement l'hétérogénéité du trafic.

La méthodologie s'articule autour de trois contributions majeures. Premièrement, nous formulons un modèle mathématique multi-classes avec couplage aux intersections, en développant des solveurs de Riemann adaptés et des schémas numériques de type Godunov garantissant la conservation de la masse et la positivité des densités. Deuxièmement, nous construisons un jumeau numérique d'un corridor de trafic, calibré et validé sur des données réelles, offrant une plateforme de simulation haute-fidélité. Troisièmement, nous concevons un environnement d'apprentissage par renforcement conforme à l'API Gymnasium, permettant l'entraînement d'agents intelligents pour le contrôle adaptatif des feux de signalisation.

Les résultats démontrent la capacité du modèle à reproduire fidèlement les comportements observés (diagrammes fondamentaux, ondes de choc, phénomènes de raréfaction) et l'efficacité de l'approche par apprentissage par renforcement pour réduire significativement les temps d'attente et améliorer la fluidité du trafic. Cette recherche ouvre des perspectives prometteuses pour le déploiement de systèmes de gestion intelligente du trafic dans les villes ouest-africaines.

Mots-clés : modélisation du trafic, jumeau numérique, apprentissage par renforcement, feux de signalisation intelligents, trafic hétérogène, lois de conservation hyperboliques.

Abstract

Urban congestion is one of the major challenges in fast-growing West African metropolises. Traditional traffic management systems, based on fixed-time traffic signals, are ill-suited to the complexity and variability of highly heterogeneous traffic flows (motorcycles, cars, buses, trucks).

This thesis proposes an innovative approach combining advanced mathematical modeling and artificial intelligence to optimize traffic management in contexts of high heterogeneity. We develop a digital twin for West African traffic, based on a rigorous theoretical framework using multi-class hyperbolic conservation laws, which allows for capturing the dynamics of different vehicle categories and their interactions. The proposed model generalizes classical approaches (LWR, ARZ) by explicitly integrating traffic heterogeneity.

The methodology is structured around three major contributions. First, we formulate a multi-class mathematical model with intersection coupling, developing adapted Riemann solvers and Godunov-type numerical schemes that ensure mass conservation and positive densities. Second, we build a digital twin of a traffic corridor, calibrated and validated with real-world data, providing a high-fidelity simulation platform. Third, we design a reinforcement learning environment compliant with the Gymnasium API, enabling the training of intelligent agents for adaptive traffic signal control.

The results demonstrate the model's ability to faithfully reproduce observed behaviors (fundamental diagrams, shock waves, rarefaction phenomena) and the effectiveness of the reinforcement learning approach in significantly reducing waiting times and improving traffic fluidity. This research opens promising prospects for the deployment of intelligent traffic management systems in West African cities.

Keywords: traffic modeling, digital twin, reinforcement learning, intelligent traffic signals, heterogeneous traffic, hyperbolic conservation laws.

Table des matières

Remerciements	iii
Résumé	iv
Abstract	v
Introduction générale	1
-1.1 Contexte et justification de l'étude	1
-1.2 But de la Recherche	1
-1.3 Problème et Questions de Recherche	2
-1.4 Objectifs du Mémoire	2
-1.4.1 Objectif général	2
-1.4.2 Objectifs spécifiques	2
-1.5 Résultats Attendus et Cibles	3
-1.6 Limites de l'Étude	3
-1.7 Nouveauté de l'Étude	3
-1.8 Grandes Divisions du Mémoire	3
1 Revue de Littérature	5
1.1 État de l'Art des Modèles de Trafic et des Méthodes Numériques Associées	5
1.1.1 Introduction	5
1.1.2 Modèles Macroscopiques de Flux de Trafic	5
1.1.3 Synthèse	7
1.2 L'Apprentissage par Renforcement : Une IA pour la Congestion Ouest-Africaine	9
1.2.1 Introduction : L'IA pour Répondre à l'Urgence du Trafic	9
1.2.2 L'Urgence Économique et Sociale : Quantifier le Coût de la Congestion	9
1.2.3 Principes de l'Apprentissage par Renforcement pour le Contrôle de Trafic	10
2 Matériels et Méthodes – Développement du Jumeau et de l'Environnement RL	12
2.1 Modèle Segment : Formulation ARZ Étendu Multi-Classes	12
2.1.1 Introduction	12
2.1.2 Le Modèle ARZ Multi-Classes de Base	12
2.1.3 Extensions Spécifiques au Contexte Ouest-Africain	14
2.1.4 Le Système d'Équations ARZ Étendu Complet	18
2.1.5 Synthèse 3	19

2.2	Modèle Réseau : Intersections et Couplage des Flux	20
2.2.1	Introduction : Le Défi des Intersections pour les Modèles de Second Ordre	20
2.2.2	Cadre Unifié de Modélisation des Nœuds	20
2.2.3	Spécialisation du Modèle et Comportements Émergents	21
2.2.4	Synthèse	22
2.3	Implémentation du Jumeau Numérique de Trafic	23
2.3.1	Sélection et Caractérisation du Corridor d'Étude	23
2.3.2	De la Carte à la Simulation : Acquisition et Traitement des Données	24
2.3.3	Architecture et Développement du Simulateur	25
2.4	De la Simulation à l'Action : Conception de l'Environnement d'Apprentissage par Renforcement	27
2.4.1	Introduction	27
2.4.2	Site d'Application : Le Corridor de Victoria Island	28
2.4.3	Formalisation du Problème en tant que Processus de Décision Markovien (MDP)	28
2.4.4	Implémentation de l'Interface Gymnasium	30
2.4.5	Synthèse	30
2.5	Méthodologie de Validation	31
2.5.1	Introduction	31
2.5.2	Hypothèses de Travail	31
2.5.3	Sources de Données	32
2.5.4	Métriques de Performance	32
2.5.5	Critères d'Acceptation	33
2.5.6	Protocole Expérimental de Validation	33
2.5.7	Synthèse	35
3	Résultats et Discussion	36
3.1	Validation Multi-Échelle : de la Théorie à l'Impact Opérationnel	36
3.1.1	Introduction : La Pyramide de Validation, un Récit de Confiance	36
3.1.2	Niveau 1 : Fondations Mathématiques et Numériques	36
3.1.3	Niveau 2 : Validation des Phénomènes Physiques Ouest-Africains	40
3.1.4	Niveau 3 : Validation du Jumeau Numérique sur le Corridor Réel	42
Conclusion générale et perspectives		45
Annexe Fondements Mathématiques du Modèle ARZ Multi-Classes		46
.1	Système d'Équations et Propriétés Mathématiques	46
.1.1	Système d'Équations du Modèle Étendu	46
.1.2	Hyperbolicité et Structure Mathématique	46
.1.3	Conditions de Couplage aux Nœuds	47
.1.4	Analyse de Stabilité	47
.2	Résolution Numérique Haute-Fidélité	47

.2.1	Architecture du Schéma Numérique	48
.2.2	Solveur pour la Partie Hyperbolique	48
.2.3	Couplage Numérique aux Nœuds	48
Bibliographie		49

Table des figures

2.1	Corridor d'étude Victoria Island (Lagos, Nigeria): illustration de la complexité topologique du réseau urbain et de l'hétérogénéité marquée du trafic, combinant motoclettes (okadas), voitures particulières et véhicules commerciaux.	13
2.2	Diagramme fondamental théorique pour les deux classes de véhicules: les motoclettes (courbe bleue) présentent un débit maximal supérieur et une densité critique plus élevée que les voitures (courbe rouge), reflétant leur manœuvrabilité accrue et leur capacité à exploiter les interstices du flux.	15
2.3	Schéma de principe du couplage Demande-Offre à une intersection: le flux effectif q_{ij}^k est déterminé par le minimum entre la demande de l'arc entrant i et l'offre de l'arc sortant j , modulé par les règles de priorité spécifiques au type d'intersection.	21
2.4	Boucle d'interaction Agent-Environnement dans le cadre de l'apprentissage par renforcement: l'agent observe l'état du trafic s_t , décide d'une action a_t (configuration des feux), et reçoit une récompense r_t évaluant la qualité de sa décision. Le simulateur ARZ multi-classes sert d'environnement déterministe.	29
3.1	Test de Riemann 1 : Onde de choc simple pour la classe des motos. La simulation (bleu) correspond parfaitement à la solution analytique (rouge).	38
3.2	Test de Riemann 5 : Interaction multi-classes. Ce test critique valide la bonne implémentation du couplage et la capacité du modèle à maintenir un différentiel de vitesse entre motos et voitures.	39
3.3	Diagrammes fondamentaux (Flux-Densité et Vitesse-Densité) calibrés pour les motos (bleu) et les voitures (orange). Les points représentent les données observées et les courbes pleines le modèle ARZ étendu.	41
3.4	Comparaison des métriques clés entre la simulation (bleu) et les données réelles (orange). (A) Diagrammes fondamentaux superposés. (B) Distributions des vitesses. (C) Taux d'infiltration spatiale.	44

Liste des tableaux

1.1	Positionnement de notre modèle ARZ étendu	8
2.1	Critères d’acceptation par niveau de validation	34
2.2	Timeline des quatre phases d’entraînement de l’agent RL avec réduction progressive du taux d’exploration ϵ	35
3.1	Résultats de validation sur les tests de Riemann (Niveau 1). Les erreurs L_2 quantifient l’écart par rapport à la solution exacte. L’ordre de convergence mesure la vitesse à laquelle l’erreur diminue lorsque le maillage est affiné.	37
3.2	Quantification des phénomènes comportementaux spécifiques (Niveau 2).	42
3.3	Résultats de validation du jumeau numérique (Niveau 3) par rapport aux données GPS réelles.	43

Introduction générale

-1.1 Contexte et justification de l'étude

La mobilité en milieu urbain constitue un réel défi pour le développement durable des villes d'Afrique de l'Ouest. La croissance démographique rapide, l'urbanisation accrue ont entraîné une augmentation significative du trafic routier dans les grandes agglomérations de la région. Cotonou (Bénin), Abidjan (Côte d'Ivoire), Dakar (Sénégal) et Lagos (Nigeria) sont des exemples emblématiques de cette problématique, où les embouteillages quotidiens affectent non seulement la productivité économique mais aussi la qualité de vie des citoyens.

Dans ce contexte, le Bénin, et plus particulièrement la ville de Cotonou, présente des caractéristiques spécifiques qui rendent la gestion du trafic particulièrement complexe. Le parc roulant est extrêmement hétérogène, avec une prédominance marquée des deux-roues motorisés, ce qui constitue un défi unique pour les modèles de trafic classiques. Ces véhicules, qui assurent une part majeure des déplacements urbains, adoptent des comportements spécifiques tels que le "gap-filling", l'"interweaving" et le "creeping", influençant profondément la dynamique globale du flux.

De plus, l'infrastructure routière, composée de routes bitumées, pavées et de nombreuses voies en terre, souvent dans un état de dégradation variable, ajoute une couche de complexité supplémentaire. Comme l'illustre la Figure ??, cette hétérogénéité extrême caractérise l'ensemble des métropoles de la région, où les deux-roues motorisés circulent entre les véhicules en exploitant les moindres interstices disponibles.

Face à ces défis, les solutions traditionnelles de gestion du trafic, basées sur des modèles statiques et des politiques standardisées ne sont pas adaptées à ce contexte. Il devient donc impératif de développer des outils plus adaptés aux réalités locales, capables de modéliser finement la dynamique du trafic et d'optimiser les systèmes de contrôle en temps réel.

-1.2 But de la Recherche

Le but principal de cette recherche est de développer et d'appliquer un jumeau numérique de trafic macroscopique basé sur un modèle ARZ (Aw-Rascle-Zhang) étendu, spécifiquement adapté aux contextes urbains d'Afrique de l'Ouest, et un système d'optimisation par intelligence artificielle (apprentissage par renforcement) intégrant les spécificités comportementales régionales. Cette approche vise à fournir une solution innovante pour la gestion intelligente du trafic dans des environnements caractérisés par une forte hétérogénéité du trafic et des données limitées.

-1.3 Problème et Questions de Recherche

Le problème central de cette recherche est de répondre à la question suivante : Comment développer un jumeau numérique efficace pour le trafic ouest-africain et l'utiliser pour optimiser les systèmes de feux de signalisation par apprentissage par renforcement ?

Pour aborder ce problème, nous formulons les questions de recherche suivantes :

1. Comment étendre les modèles macroscopiques existants (comme ARZ) pour capturer fidèlement les dynamiques du trafic hétérogène ouest-africain, incluant les interactions spécifiques entre différents types de véhicules (motos, voitures, etc.) ?
2. Quelles sont les méthodes les plus efficaces pour calibrer et valider un jumeau numérique de trafic dans un contexte où les données sont souvent rares ou incomplètes, afin de garantir sa fiabilité en tant que plateforme de simulation ?
3. Comment concevoir et entraîner un agent d'apprentissage par renforcement qui, en interagissant avec ce jumeau numérique, peut apprendre des stratégies de contrôle des feux de signalisation qui surpassent les systèmes traditionnels à temps fixe en termes de fluidité et de réduction des temps d'attente ?

-1.4 Objectifs du Mémoire

-1.4.1 Objectif général

Créer et valider un jumeau numérique ARZ adapté aux contextes ouest-africains et un agent d'apprentissage par renforcement (RL) pour l'optimisation des feux de signalisation.

-1.4.2 Objectifs spécifiques

1. Développer un modèle ARZ étendu capturant les comportements spécifiques des motocyclettes observés en Afrique de l'Ouest.
2. Développer une chaîne numérique haute-fidélité pour le corridor Victoria Island (Lagos) en utilisant des méthodes numériques avancées (WENO).
3. Calibrer et valider le jumeau numérique sur le corridor de Victoria Island (Lagos) avec les données disponibles.
4. Concevoir et entraîner un agent d'apprentissage par renforcement dans l'environnement simulé pour optimiser les feux de signalisation.
5. Évaluer les performances du système d'optimisation dans divers scénarios de trafic.

-1.5 Résultats Attendus et Cibles

Cette recherche vise à obtenir les résultats suivants :

- ▶ Un jumeau numérique de trafic validé, basé sur un modèle ARZ étendu, capable de simuler fidèlement la dynamique du trafic en Afrique de l'Ouest.
- ▶ Un agent d'apprentissage par renforcement performant pour l'optimisation des feux de signalisation, démontrant des gains significatifs par rapport aux méthodes classiques.
- ▶ Un modèle validé sur Lagos, démontrant son potentiel d'adaptation à d'autres contextes ouest-africains.

-1.6 Limites de l'Étude

Cette étude présente certaines limites :

- ▶ **Contraintes liées aux données :** La disponibilité et la qualité des données de trafic peuvent varier, notamment pour la calibration et la validation du modèle.
- ▶ **Validation sur un seul corridor :** Les résultats sont validés sur le corridor Victoria Island (Lagos), ce qui peut limiter la généralisation à d'autres contextes.

-1.7 Nouveauté de l'Étude

L'originalité de cette recherche réside dans la combinaison de trois piliers innovants :

1. **Modèle ARZ adapté :** Première application d'un modèle ARZ étendu spécifiquement conçu pour capturer les spécificités du trafic ouest-africain, notamment l'hétérogénéité extrême et les comportements spécifiques des motocyclettes.
2. **Modèle multi-classes adapté aux spécificités régionales ouest-africaines :** Développement d'une approche méthodologique originale permettant de modéliser les interactions complexes dans le trafic ouest-africain.
3. **Optimisation par RL :** Couplage innovant du modèle ARZ étendu avec un agent d'apprentissage par renforcement pour l'optimisation intelligente du trafic dans un contexte urbain complexe.

-1.8 Grandes Divisions du Mémoire

Ce mémoire est structuré en trois parties principales :

► Partie I : Revue de Littérature

Cette partie présente l'état de l'art des modèles de trafic macroscopiques (LWR, ARZ), les méthodes numériques associées, et les principes de l'apprentissage par renforcement appliqués à la gestion du trafic. Elle met en évidence les spécificités du trafic urbain en Afrique de l'Ouest et justifie l'approche méthodologique choisie.

► Partie II : Matériels et Méthodes – Développement du Jumeau Numérique et de l'Environnement RL

Cette partie détaille la formulation mathématique du modèle ARZ étendu, la conception et l'implémentation de la chaîne numérique haute-fidélité, ainsi que la calibration du jumeau numérique et la préparation de l'environnement d'apprentissage par renforcement.

► Partie III : Résultats, Validation et Discussion

Cette partie présente la validation du jumeau numérique, l'entraînement de l'agent intelligent, l'évaluation des performances et l'analyse de la robustesse du système d'optimisation. Elle se termine par une discussion générale et des perspectives de recherche.

CHAPITRE 1

Revue de Littérature

Ce chapitre établit les fondements théoriques de notre travail en examinant l'état de l'art des modèles de trafic et les méthodes de fusion de données pour la construction de jumeaux numériques. Nous analysons d'abord les modèles macroscopiques classiques et leurs extensions multi-classes, puis nous explorons les approches de fusion de données et d'apprentissage automatique pour la calibration et l'optimisation.

1.1 État de l'Art des Modèles de Trafic et des Méthodes Numériques Associées

1.1.1 Introduction

Cette section établit le positionnement théorique de notre travail en examinant l'évolution des modèles macroscopiques de trafic, depuis les approches de premier ordre (LWR) jusqu'aux modèles de second ordre (ARZ), et leurs extensions multi-classes. Nous identifierons ensuite les lacunes spécifiques de ces modèles pour représenter les comportements caractéristiques du trafic ouest-africain, notamment la prédominance des motos et leurs patterns de circulation uniques (*gap-filling, interweaving, creeping*). Cette analyse justifiera le développement d'un modèle ARZ étendu adapté au contexte béninois.

1.1.2 Modèles Macroscopiques de Flux de Trafic

Les Modèles de Premier Ordre (LWR) et leurs Limitations

Le modèle Lighthill-Whitham-Richards (LWR), développé dans les années 1950, est le pionnier des approches macroscopiques LIGHTHILL et WHITHAM, 1955 ; RICHARDS, 1956. Il repose sur la conservation du nombre de véhicules :

$$\frac{\partial \rho}{\partial t} + \frac{\partial q}{\partial x} = 0 \quad (1.1.1)$$

où $\rho(x,t)$ est la densité et $q(x,t)$ le débit. L'hypothèse fondamentale consiste en une relation d'équilibre instantané entre débit, densité et vitesse moyenne v via le diagramme fondamental : $q = \rho v$ et $v = V_e(\rho)$ LEBACQUE, 1993.

Malgré sa simplicité, le modèle LWR présente des limitations majeures pour notre contexte : il

suppose un ajustement instantané de la vitesse à $V_e(\rho)$, ne peut reproduire l'hystérésis ni les oscillations stop-and-go, ignore l'anticipation et les temps de réaction, et surtout, sa relation vitesse-densité unique rend difficile la représentation d'un trafic mixte hétérogène (motos vs voitures), un point crucial pour le Bénin FAN et al., 2014; AW, KLAR et al., 2002; G. C. K. WONG et S. C. WONG, 2002. Ces lacunes ont motivé le développement de modèles de second ordre.

Les Modèles de Second Ordre : Le Cadre ARZ

Les modèles de second ordre surmontent les limitations du LWR en introduisant une équation dynamique supplémentaire pour l'évolution de la vitesse, permettant de capturer l'inertie du flux et les états hors équilibre FAN et al., 2014. Parmi les différentes familles (Payne-Whitham, GSOM/METANET), le modèle Aw-Rascle-Zhang (ARZ) se distingue par sa capacité à éviter les comportements non physiques AW, KLAR et al., 2002; ZHANG, 2002.

Principes du modèle ARZ : Le modèle ARZ conserve l'équation de masse du LWR et ajoute une équation pour une variable de second ordre. Dans sa formulation avec relaxation YU et al., 2024 :

$$\frac{\partial \rho}{\partial t} + \frac{\partial(\rho v)}{\partial x} = 0 \quad (1.1.2)$$

$$\frac{\partial v}{\partial t} + (v - \rho p'(\rho)) \frac{\partial v}{\partial x} = \frac{V_e(\rho) - v}{\tau} \quad (1.1.3)$$

où $p(\rho)$ est une fonction de "pression" reflétant l'anticipation des conducteurs, et τ le temps caractéristique de relaxation vers la vitesse d'équilibre $V_e(\rho)$.

Avantages clés : Le modèle ARZ respecte l'anisotropie du trafic (les conducteurs réagissent aux conditions en aval), capture les phénomènes hors équilibre (hystérésis, ondes stop-and-go), évite les vitesses négatives, et surtout, offre la flexibilité nécessaire pour des extensions multi-classes LING et al., 2011 ; FAN et al., 2014.

Défis : La complexité du système hyperbolique non linéaire rend l'analyse et la résolution numérique plus délicates que pour LWR DI et al., 2024. La calibration des paramètres ($p(\rho)$, τ , $V_e(\rho)$) est particulièrement critique. Les approches traditionnelles par optimisation déterministe présentent des limitations (absence de quantification d'incertitude, risque de violation des contraintes physiques, sur-apprentissage). La littérature récente (2022-2025) suggère une évolution vers des méthodes bayésiennes avec contraintes physiques informées KHELIFI et al., 2023, ouvrant des perspectives prometteuses pour des calibrations futures plus robustes.

Modélisation de l'Hétérogénéité et des Comportements Spécifiques

Le trafic réel, surtout dans les pays en développement comme le Bénin, est fortement hétérogène : voitures, camions, bus, motos et vélos coexistent avec des tailles, capacités dynamiques et comportements de conduite variés. Cette hétérogénéité influence fortement la dynamique globale du flux.

Extensions multi-classes des modèles macroscopiques Les approches multi-classes considèrent le trafic comme une superposition de "fluides" interagissants. Pour LWR, cela se traduit par des diagrammes fondamentaux spécifiques à chaque classe ou l'usage de coefficients d'équivalence (PCE/PCU) RAMBHA, 2020. Pour ARZ, chaque classe i dispose de son propre système d'équations avec des paramètres distincts ($\rho_i, v_i, p_i(\rho), V_{e,i}(\rho), \tau_i$), où les interactions entre classes sont modélisées via des densités de congestion communes et des termes couplés FAN, 2015 ; COLOMBO et MARCELLINI, 2020.

Limitation critique : Les extensions multi-classes existantes supposent souvent des interactions simplifiées et peinent à capturer des comportements fins comme l'entrelacement complexe des motos, un phénomène dominant dans notre contexte.

Comportements spécifiques des motos : Gap-filling, Interweaving et Creeping Le contexte béninois est marqué par la prédominance des motos, particulièrement les taxis-motos ("Zémidjans"), dont les comportements affectent significativement la dynamique du trafic. Trois phénomènes se révèlent critiques :

Gap-filling (remplissage d'interstices) : Les motos utilisent les espaces entre véhicules plus grands pour progresser même en congestion KHAN et GULLIVER, 2021 ; NGUYEN, BENTON et al., 2012. Ce comportement s'apparente à un processus de filtration où les motos perçoivent une densité effective réduite. Au niveau macroscopique, cela pourrait se traduire par une fonction de pression $p_{moto}(\rho)$ modifiée ou une densité effective perçue différente de la densité réelle.

Interweaving (entrelacement/remontée de file) : Les mouvements latéraux continus entre files de véhicules, particulièrement intenses à basse vitesse DI FRANCESCO et ROSINI, 2015 ; TIWARI et al., 2007. Ce phénomène, quasi-bidimensionnel, optimise l'utilisation de l'espace mais reste difficile à transcrire dans un cadre macroscopique 1D. Des approches par "voies flexibles" ou par modélisation de flux latéraux ont été proposées COLOMBO, MARCELLINI et ROSSI, 2023.

Creeping (reptation) : Capacité des motos à se déplacer très lentement dans des conditions de congestion extrême où les autres véhicules sont arrêtés SAUMTALLY, 2012 ; FAN, 2015. Ce comportement nécessite une adaptation des relations vitesse-densité pour permettre une vitesse résiduelle non nulle même à très haute densité. Des modèles de transition de phase ou des modifications de $V_{e,moto}(\rho)$ avec une vitesse minimale garantie peuvent capturer ce phénomène.

Lacune de la littérature : La modélisation macroscopique de ces comportements spécifiques, en particulier leur intégration simultanée dans des modèles ARZ multi-classes, reste largement inexploitée. Les rares études existantes se concentrent sur un seul comportement ou utilisent des approches microscopiques difficilement transposables au niveau macroscopique nécessaire pour un jumeau numérique urbain.

1.1.3 Synthèse

Cette section a établi le positionnement théorique de notre travail en examinant l'évolution des modèles macroscopiques de trafic. La progression LWR → ARZ → ARZ multi-classes reflète une

sophistication croissante pour capturer des dynamiques de trafic complexes : des états d'équilibre simples vers les phénomènes hors équilibre (hystéresis, ondes stop-and-go), puis vers la représentation de l'hétérogénéité des flux.

Cependant, notre analyse révèle une **lacune critique** : aucun modèle existant n'intègre simultanément l'hétérogénéité extrême du trafic ouest-africain, les comportements spécifiques des motos (gap-filling, interweaving, creeping), et l'impact de la qualité infrastructurelle variable. Plus précisément :

1. Les extensions multi-classes d'ARZ supposent des interactions simplifiées et ne capturent pas adéquatement les trois comportements dominants des Zémidjans béninois SAUMTALLY, 2012.
2. La paramétrisation des fonctions clés ($V_e(\rho)$, $p(\rho)$, τ) ignore généralement l'impact de la qualité infrastructurelle locale JOLLY et al., 2005.
3. Aucun modèle ARZ multi-classe validé par des données empiriques collectées localement n'existe pour ce contexte.

Cette lacune justifie notre contribution principale : le développement d'un **modèle ARZ étendu multi-classes** spécifiquement conçu, calibré et validé pour le contexte béninois, qui servira de fondement au jumeau numérique de trafic pour l'optimisation intelligente par apprentissage par renforcement.

TABLE 1.1 – Positionnement de notre modèle ARZ étendu

Modèle	Capacités	Lacunes pour notre contexte
LWR	Capture des ondes de choc, simplicité computationnelle	Équilibre instantané, mono-classe, pas d'hystéresis
ARZ standard	Phénomènes hors équilibre, anisotropie, flexibilité	Paramétrisation générique, pas de comportements motos
ARZ étendu (notre contribution)	Multi-classes + gap-filling + interweaving + creeping + impact infrastructurel	Calibration locale nécessaire

Synthèse : Lacune et Contribution

Lacune identifiée : Aucun modèle ARZ multi-classe n'intègre simultanément les comportements spécifiques des Zémidjans (gap-filling, interweaving, creeping), l'impact de la qualité infrastructurelle variable, et une validation par données empiriques locales.

Notre contribution : Modèle ARZ étendu multi-classes avec paramétrisation adaptée au contexte béninois, calibré sur données réelles de Lagos/Cotonou, et servant de base à un jumeau numérique pour optimisation RL.

1.2 L'Apprentissage par Renforcement : Une IA pour la Congestion Ouest-Africaine

1.2.1 Introduction : L'IA pour Répondre à l'Urgence du Trafic

La gestion du trafic dans les métropoles d'Afrique de l'Ouest, comme Cotonou et Lagos, est un défi économique et social majeur. Comme établi à la section précédente, les modèles de trafic classiques peinent à capturer la complexité d'un environnement hétérogène, dominé par les motos et leurs comportements uniques. Face à l'inefficacité des approches traditionnelles de contrôle, l'Intelligence Artificielle (IA), et plus spécifiquement l'Apprentissage par Renforcement (RL), offre un changement de paradigme.

Plutôt que de se baser sur des cycles fixes, le RL permet à un système de contrôle d'apprendre dynamiquement des stratégies optimales par interaction directe avec l'environnement de trafic. C'est une approche proactive et adaptative, particulièrement pertinente pour des systèmes non-linéaires et imprévisibles.

Cette section démontre la pertinence de cette approche en trois temps. D'abord, elle quantifie l'urgence économique et sociale qui justifie l'investissement dans des solutions d'IA. Ensuite, elle présente les principes fondamentaux du RL et les algorithmes pertinents pour le contrôle de trafic, en justifiant notre choix méthodologique. Enfin, elle souligne les adaptations nécessaires pour transposer ces technologies au contexte ouest-africain.

1.2.2 L'Urgence Économique et Sociale : Quantifier le Coût de la Congestion

Avant d'explorer la solution technologique, il est impératif de mesurer l'ampleur du problème. La congestion n'est pas une simple nuisance ; c'est un frein systémique au développement économique et au bien-être social en Afrique de l'Ouest.

Le Cas Emblématique de Lagos : Une Économie Paralysée

Lagos, première métropole économique du Nigeria, illustre dramatiquement les coûts de l'inaction. Une étude du Danne Institute for Research en partenariat avec Financial Derivatives Company DANNE INSTITUTE FOR RESEARCH et FINANCIAL DERIVATIVES COMPANY, 2020 révèle des chiffres saisissants :

- ▶ **Impact macroéconomique** : Un coût économique annuel de **N3,83 trillions** pour les entreprises (micro, petites et moyennes), soit une perte substantielle de productivité.
- ▶ **Temps productif perdu** : Chaque habitant perd en moyenne **2,21 heures** par jour dans les embouteillages lors des déplacements domicile-travail.
- ▶ **Coûts individuels** : Les usagers de transport public dépensent **N79 039,40** supplémentaires par an, tandis que les propriétaires de véhicules supportent **N133 978,68** en surcoût de carburant annuel.

- ▶ **Inefficacité énergétique** : La consommation de carburant augmente de 20 à 30% en conditions de circulation "stop-and-go".

Avec 1,8 million de véhicules sur moins de 1% du territoire national, Lagos détient l'indice de congestion le plus élevé au monde (Numbeo 2022), transformant ses artères en un véritable goulet d'étranglement économique.

Extrapolation Régionale et Coûts Sociaux

Le cas de Lagos n'est pas isolé. À Cotonou, bien que les données soient plus rares, on estime que la congestion affecte 2 à 4% du PIB béninois, avec 1,5 à 2 heures perdues par usager chaque jour FOUSENNE et al., 2014. Au-delà des chiffres, les coûts sociaux sont immenses :

- ▶ **Santé publique** : La pollution atmosphérique générée par les véhicules à l'arrêt provoque une incidence accrue de pathologies respiratoires, notamment chez les conducteurs de taxis-motos.
- ▶ **Usure des infrastructures** : Le vieillissement accéléré des véhicules (âge moyen >15 ans au Bénin) et des routes augmente les coûts de maintenance pour les ménages et l'État.
- ▶ **Stress et qualité de vie** : L'impact psychologique des temps de trajet imprévisibles et prolongés dégrade significativement la qualité de vie urbaine.

Face à cet enjeu, l'optimisation du trafic par l'IA n'est pas un luxe technologique, mais un levier de développement à fort potentiel de retour sur investissement.

1.2.3 Principes de l'Apprentissage par Renforcement pour le Contrôle de Trafic

L'apprentissage par renforcement est la branche de l'IA qui apprend à un **agent** (le contrôleur de feux) à prendre des décisions optimales en interagissant avec un **environnement** (le réseau de trafic). Le processus est guidé par un signal de **récompense**, qui évalue la qualité de chaque **action** (ex: changer la phase des feux) prise dans un **état** donné (ex: longueur des files d'attente). L'objectif de l'agent est de développer une **politique** (une stratégie) qui maximise la récompense cumulée sur le long terme.

Ce cadre est formalisé par le Processus de Décision Markovien (MDP), un tuple (S, A, P, R, γ) qui modélise les transitions entre états, les récompenses et la dynamique de l'environnement. La propriété de Markov, qui suppose que le futur ne dépend que du présent, est une simplification puissante mais qui nécessite des adaptations pour capturer les comportements complexes des motos, dont les décisions peuvent être influencées par des conditions antérieures.

Panorama des Algorithmes et Justification du Choix

Le domaine du RL offre une riche palette d'algorithmes. Les approches fondamentales comme le **Q-Learning** ont prouvé leur efficacité pour des problèmes simples mais peinent à gérer la complexité des grands réseaux urbains. Pour surmonter cela, les **Deep Q-Networks (DQN)** utilisent des réseaux

de neurones pour approximer la fonction de valeur, permettant de traiter des espaces d'états vastes et continus, comme ceux issus de capteurs ou de simulations. Une étude récente SWAPNO et al., 2024 a ainsi montré une réduction de 49% des files d'attente avec un DQN.

Pour des problèmes de coordination, les algorithmes **Acteur-Critique** (A2C, A3C) et l'apprentissage par renforcement multi-agents (**MARL**) sont particulièrement pertinents. Le MARL, où chaque intersection est un agent qui coopère avec ses voisins, est une approche prometteuse pour les réseaux denses comme à Lagos. Une étude a montré qu'une telle approche pouvait réduire la consommation de carburant de 11% et le temps de trajet de 13% KOLAT et al., 2023. Des architectures plus avancées, basées sur les réseaux de neurones graphiques (GNN), permettent de modéliser explicitement les relations spatio-temporelles du réseau routier DONATUS et al., 2025.

CHAPITRE 2

Matériels et Méthodes – Développement du Jumeau et de l’Environnement RL

2.1 Modèle Segment : Formulation ARZ Étendu Multi-Classes

2.1.1 Introduction

Cette section est dédiée à la formulation mathématique détaillée du modèle macroscopique de trafic routier proposé pour le contexte ouest-africain, notamment observé à Lagos et dans des villes similaires. Comme établi dans la revue de la littérature (Chapitre 1), les modèles de premier ordre comme le LWR sont insuffisants pour capturer la complexité dynamique observée, notamment les phénomènes hors équilibre et l’hétérogénéité marquée du parc de véhicules. Le modèle Aw-Rascle-Zhang (ARZ) a été identifié comme une base théorique plus appropriée en raison de ses propriétés mathématiques avantageuses et de sa capacité intrinsèque à modéliser l’anisotropie, l’hystérésis et les ondes *stop-and-go*, comme démontré par AW et RASCLE, 2000 et ZHANG, 2002.

L’objectif de cette section est de construire une *extension multi-classes* de ce cadre ARZ, spécifiquement conçue pour intégrer les caractéristiques distinctives du trafic ouest-africain. Cela inclut la prédominance des motocyclettes, leurs comportements spécifiques (gap-filling, interweaving, creeping), et l’impact de la qualité variable de l’infrastructure routière.

2.1.2 Le Modèle ARZ Multi-Classes de Base

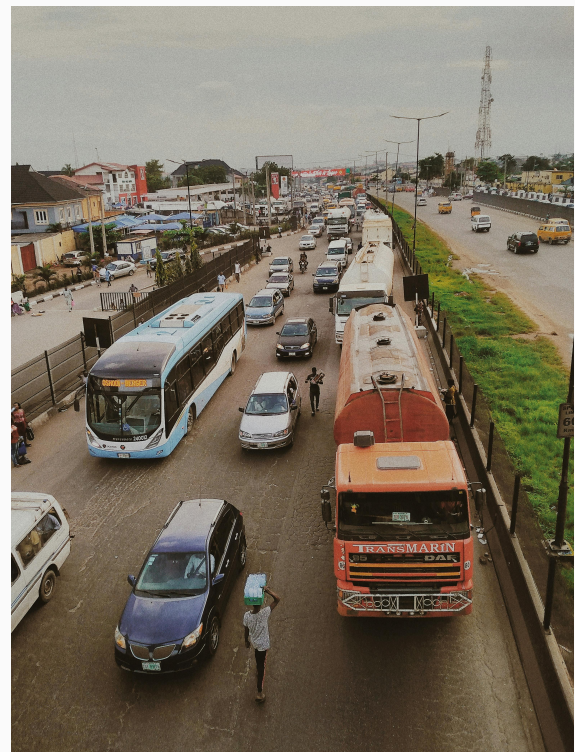
Justification du multi-classe

La première étape cruciale dans la formulation du modèle est de reconnaître l’impératif d’une approche **multi-classes**. Le trafic urbain en Afrique de l’Ouest est caractérisé par une **hétérogénéité extrême**, où les motocyclettes constituent la majorité écrasante du flux (souvent plus de 70-80% en milieu urbain) et coexistent avec des voitures particulières, des camions, des bus et des tricycles.

Les différences fondamentales en termes de taille, de capacités dynamiques (accélération, freinage), de manœuvrabilité, et surtout de comportements de conduite entre les motos et les autres véhicules rendent tout modèle homogène intrinsèquement incapable de reproduire fidèlement la dynamique observée. Une approche multi-classes est donc essentielle, comme soutenu par les travaux de LEE, 2008 et MENG et al., 2007, qui mettent en évidence la nécessité de distinguer les motos des autres



(a) Vue aérienne révélant la complexité topologique du réseau



(b) Perspective au sol illustrant l'hétérogénéité du parc roulant

FIGURE 2.1 – Corridor d'étude Victoria Island (Lagos, Nigeria): illustration de la complexité topologique du réseau urbain et de l'hétérogénéité marquée du trafic, combinant motocyclettes (okadas), voitures particulières et véhicules commerciaux.

véhicules dans les modèles de trafic mixte.

Choix du cadre ARZ multi-classe spécifique

Plusieurs approches existent pour étendre le modèle ARZ à un cadre multi-classes. Pour ce travail, nous adoptons une formulation courante qui consiste à écrire un système d'équations ARZ pour chaque classe de véhicules, où les interactions entre les classes sont modélisées à travers les dépendances des fonctions clés (comme la vitesse d'équilibre et la fonction de pression) par rapport à l'état global du trafic (densités et/ou vitesses de toutes les classes).

Compte tenu de la dichotomie majeure observée en Afrique de l'Ouest, nous considérerons **deux classes** principales :

- ▶ Classe m : Motocyclettes (okadas, zémidjans)
- ▶ Classe c : Autres véhicules (principalement voitures particulières, mais pouvant regrouper conceptuellement les véhicules plus larges et moins agiles)

Cette simplification permet de se concentrer sur l'interaction fondamentale moto-voiture, tout en gardant la possibilité d'ajouter d'autres classes dans des travaux futurs.

Équations de base

Le système de base ARZ multi-classes, avant l'intégration des spécificités ouest-africaines, s'écrit sous la forme suivante, incluant un terme de relaxation vers une vitesse d'équilibre. Pour chaque classe $i \in \{m, c\}$:

$$\frac{\partial \rho_i}{\partial t} + \frac{\partial(\rho_i v_i)}{\partial x} = 0 \quad (\text{Équation de continuité}) \quad (2.1.1)$$

$$\frac{\partial w_i}{\partial t} + v_i \frac{\partial w_i}{\partial x} = \frac{1}{\tau_i} (V_{e,i}(\rho_m, \rho_c) - v_i) \quad \text{avec} \quad w_i = v_i + p_i(\rho_m, \rho_c) \quad (2.1.2)$$

Où les variables sont définies comme suit : ρ_i (densité), v_i (vitesse), w_i (variable lagrangienne), p_i (pression), $V_{e,i}$ (vitesse d'équilibre), et τ_i (temps de relaxation).

Ce système forme le **squelette** de notre modèle. Les sections suivantes détailleront comment ce squelette est enrichi pour modéliser les comportements et contraintes spécifiques observés sur le terrain.

2.1.3 Extensions Spécifiques au Contexte Ouest-Africain

Modélisation de l'Impact de l'Infrastructure ($R(x)$)

L'une des caractéristiques marquantes des réseaux routiers ouest-africains est la grande **diversité de l'état du revêtement**. Pour intégrer cet effet, nous rendons la fonction de vitesse d'équilibre $V_{e,i}$ explicitement dépendante d'un indicateur de qualité de la route, $R(x)$. Cette approche s'inspire des recherches de HUSSEIN et al., 2023 et KOCATEPE et al., 2019, qui ont démontré l'impact significatif des défauts de chaussée sur la performance opérationnelle du trafic.

Définition de l'indicateur de qualité $R(x)$ Nous définissons $R(x)$ comme une fonction normalisée entre 0 (mauvaise qualité) et 1 (bonne qualité), mesurée par des indices standardisés de qualité de revêtement (par exemple, l'indice de rugosité IRI - International Roughness Index).

La vitesse maximale en flux libre dépend de la qualité du revêtement selon la relation suivante :

$$V_{\max,m}(R(x)) = V_{\max,m}^0 \cdot (1 - \beta_m(1 - R(x))) \quad (2.1.3)$$

$$V_{\max,c}(R(x)) = V_{\max,c}^0 \cdot (1 - \beta_c(1 - R(x))) \quad (2.1.4)$$

où $\beta_m < \beta_c$ reflète que les motos sont moins affectées par la dégradation de la chaussée que les voitures ($0 \leq \beta_m < \beta_c \leq 1$).

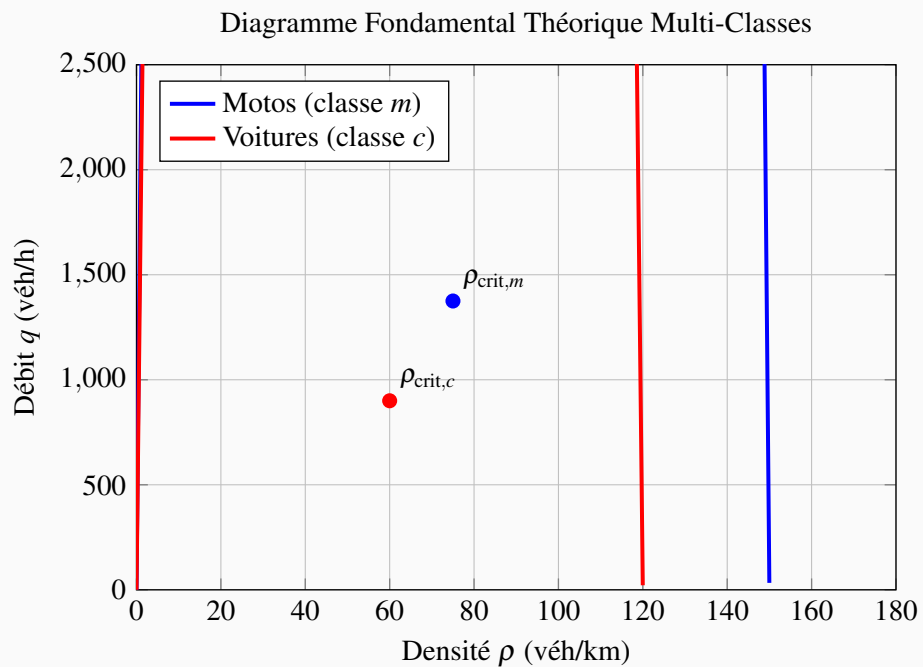


FIGURE 2.2 – Diagramme fondamental théorique pour les deux classes de véhicules: les motocyclettes (courbe bleue) présentent un débit maximal supérieur et une densité critique plus élevée que les voitures (courbe rouge), reflétant leur manœuvrabilité accrue et leur capacité à exploiter les interstices du flux.

Crucialement, les **motocyclettes (classe m)** sont moins sensibles à la dégradation de la chaussée. L'introduction de cette dépendance spatiale rend le système non-homogène et a des implications directes sur la résolution numérique.

Intégration des Comportements Motos Observés en Afrique de l'Ouest

Modélisation du "gap-filling" (remplissage d'interstices) Le "gap-filling" (remplissage d'interstices) est la capacité des motos à exploiter les espaces pour progresser en trafic dense. C'est le comportement fondamental qui sous-tend toutes les autres spécificités des motos. Dans le cadre ARZ, cette perception de l'espace est capturée par la **fonction de pression p_i** , qui représente la "gêne"

ressentie par un conducteur. Cette modélisation s'appuie sur les travaux de LEE et al., 2009 sur les dynamiques des motos dans le trafic mixte.

Densité effective perçue Nous modélisons le gap-filling en introduisant le concept de **densité effective perçue**, $\rho_{\text{eff},i}$. Tandis que les voitures perçoivent la densité totale, les motos perçoivent une densité réduite grâce à leur capacité à ignorer une partie de l'encombrement créé par les voitures.

Nous considérons que le paramètre α n'est pas constant mais dépend de la densité totale $\rho = \rho_m + \rho_c$, reflétant que même les motos ont des limites dans des conditions de congestion extrême :

$$\alpha(\rho) = \alpha_0 - k \cdot \left(\frac{\rho}{\rho_{\text{jam},c}} \right)^n \quad (2.1.5)$$

où :

- ▶ $\alpha_0 \in (0, 1)$ est la valeur maximale de α en faible densité.
- ▶ $k \in [0, \alpha_0]$ est un paramètre contrôlant la diminution de α .
- ▶ $n > 0$ est un exposant déterminant la rapidité de la diminution.
- ▶ $\rho_{\text{jam},c}$ est la densité de bouchon pour les voitures.

Cette formulation assure que $\alpha(\rho) > 0$ pour toutes les densités physiques et modélise que la capacité des motos à "ignorer" l'encombrement diminue lorsque la congestion devient extrême.

La densité effective perçue par les motos devient alors :

$$\rho_{\text{eff},m} = \rho_m + \alpha(\rho)\rho_c \quad (2.1.6)$$

Fonctions de pression avec interactions bidirectionnelles Les fonctions de pression capturent la synergie du **gap-filling** et de l'**entrelacement** via la densité effective perçue, ainsi que l'effet perturbateur des motos sur les autres véhicules :

$$p_m(\rho_m, \rho_c) = P_m(\rho_m + \alpha(\rho)\rho_c) \quad (2.1.7)$$

$$p_c(\rho_m, \rho_c) = P_c(\rho_m + \rho_c + \beta\rho_m) \quad \text{avec } \beta > 0 \quad (2.1.8)$$

Le paramètre β modélise l'augmentation de la "gêne" ressentie par les conducteurs de voitures en raison de la présence et des manœuvres des motos. Une formulation possible est $P_c(\rho) = c \cdot \rho^\gamma$ avec $\gamma > 1$, et β est un paramètre à calibrer reflétant l'intensité de cette perturbation.

Pour les formes fonctionnelles, nous adoptons une forme puissance couramment utilisée dans la littérature, comme proposé par Aw et RASCLE, 2000 :

$$P_i(\rho) = c_i \cdot \rho^{\gamma_i} \quad (2.1.9)$$

où $c_i > 0$ et $\gamma_i > 1$ sont des paramètres à calibrer. Cette forme assure que la pression augmente plus que linéairement avec la densité, capturant le comportement non linéaire observé en congestion.

Modélisation de l'entrelacement (interweaving) L'**entrelacement** (ou *interweaving*) peut être vu comme la **manifestation dynamique du gap-filling**. Alors que le gap-filling décrit la *perception* de l'espace, l'entrelacement décrit l'*action* d'exploiter cet espace par des mouvements latéraux agiles. Cette modélisation s'inspire des études de SERMPIS et al., 2005 sur les mouvements des véhicules à deux roues aux intersections urbaines.

Modélisation par la synergie des fonctions du modèle Plutôt que d'introduire des termes supplémentaires qui changeraient la nature mathématique du système, nous modélisons les conséquences macroscopiques de l'entrelacement en exploitant la synergie des fonctions déjà présentes dans le cadre ARZ. L'ajout d'un terme de diffusion (dérivée seconde), par exemple, transformerait le système en un modèle hyperbolique-parabolique, ce qui augmenterait de manière significative la complexité de la résolution numérique et nécessiterait des schémas spécifiques, sortant du cadre des solveurs de Riemann classiques adaptés aux lois de conservation pures.

Nous faisons donc le choix de **préserver la nature purement hyperbolique du modèle**, qui est bien établie pour le trafic, et de capturer l'action de l'entrelacement par les mécanismes suivants :

1. **Par la fonction de pression p_m** : La valeur du paramètre α (décris en 2.3.1) reflète déjà l'effet combiné du gap-filling et de l'agilité de l'entrelacement.
2. **Par le temps de relaxation τ_m** : C'est le mécanisme le plus direct pour modéliser l'action. L'agilité des motocyclistes leur permet de réagir et d'adapter leur vitesse beaucoup plus rapidement. Ceci est modélisé par un temps de relaxation plus court et adaptatif.

Le temps de relaxation des motos est modélisé comme une fonction décroissante de la densité totale, reflétant que l'agilité des motos s'accroît en congestion :

$$\tau_m(\rho) = \tau_{m,0} \left(1 - k_m \frac{\rho}{\rho_{\text{jam},c}} \right) \quad (2.1.10)$$

où $\tau_{m,0}$ est le temps de relaxation de base et $k_m \in [0, 1]$ est un paramètre à calibrer. Le temps de relaxation des voitures, τ_c , est considéré constant.

Ainsi, le système d'équations conserve sa structure, et l'entrelacement est modélisé comme une capacité de réaction dynamique rapide permise par une perception différenciée de l'espace.

Modélisation du "creeping" (reptation) Le "creeping" (reptation) est la conséquence ultime et la plus visible de la capacité unique des motos à exploiter l'espace en conditions de congestion extrême, leur permettant de maintenir une vitesse faible mais non nulle. Cette modélisation s'appuie sur les travaux de CONG MINH, 2006 sur le comportement des motos aux intersections signalisées.

Densité de bouchon différenciée Le modèle utilise deux densités de bouchon distinctes, considérées comme des paramètres physiques indépendants à calibrer :

- ▶ $\rho_{\text{jam},c}$: densité de bouchon physique maximale pour les voitures.
- ▶ $\rho_{\text{jam},m}$: densité de bouchon effective pour les motos, avec la contrainte physique $\rho_{\text{jam},m} > \rho_{\text{jam},c}$.

Fonctions de vitesse d'équilibre modifiées Notre modèle intègre ce comportement final en modifiant la destination même de leur dynamique : la **vitesse d'équilibre** $V_{e,m}$. Les fonctions de vitesse d'équilibre sont définies avec leurs densités de bouchon respectives :

$$V_{e,m}(\rho, R(x)) = V_{\text{creeping}} + (V_{\text{max},m}(R(x)) - V_{\text{creeping}}) \cdot g_m\left(\frac{\rho}{\rho_{\text{jam},m}}\right) \quad (2.1.11)$$

$$V_{e,c}(\rho, R(x)) = V_{\text{max},c}(R(x)) \cdot g_c\left(\frac{\rho}{\rho_{\text{jam},c}}\right) \quad (2.1.12)$$

où :

- ▶ $\rho_{\text{jam},c}$ et $\rho_{\text{jam},m}$ sont les densités de bouchon respectives de chaque classe.
- ▶ g_m et g_c sont des fonctions décroissantes de la densité normalisée.

Pour la fonction de vitesse d'équilibre, nous utilisons une forme généralisée de Greenshields, comme introduit par GREENSHIELDS, 1935 :

$$g_i(z) = (1 - z^{\delta_i})_+ \quad \text{où } z = \frac{\rho}{\rho_{\text{jam},i}} \quad (2.1.13)$$

où $\delta_i > 0$ est un paramètre contrôlant la forme de la décroissance, et $(x)_+ = \max(x, 0)$. Pour $\delta_i = 1$, on retrouve la forme classique de Greenshields.

2.1.4 Le Système d'Équations ARZ Étendu Complet

Cette section synthétise les mécanismes de modélisation précédents en un système d'équations unifié. Ce système capture, dans un cadre mathématique cohérent, la synergie des comportements des motos et l'impact de l'infrastructure.

Système d'équations principal

Le modèle étendu est un système de 4 EDP hyperboliques non linéaires couplées pour les variables d'état $\rho_i(x, t)$ et $w_i(x, t)$. Pour chaque classe $i \in \{m, c\}$, les équations sont :

$$\frac{\partial \rho_i}{\partial t} + \frac{\partial (\rho_i v_i)}{\partial x} = 0 \quad (2.1.14)$$

$$\frac{\partial w_i}{\partial t} + v_i \frac{\partial w_i}{\partial x} = \frac{1}{\tau_i(\rho)} (V_{e,i}(\rho, R(x)) - v_i) \quad (2.1.15)$$

avec la relation fondamentale :

$$v_i = w_i - p_i(\rho_m, \rho_c) \quad (2.1.16)$$

Fonctions clés du modèle

Fonctions de Pression $p_i(\rho_m, \rho_c)$: Elles capturent la synergie du **gap-filling** et de l'**entrelacement** via la densité effective perçue, ainsi que les interactions bidirectionnelles.

$$p_m(\rho_m, \rho_c) = P_m(\rho_m + \alpha(\rho)\rho_c) \quad (2.1.17)$$

$$p_c(\rho_m, \rho_c) = P_c(\rho_m + \rho_c + \beta\rho_m) \quad \text{avec } \beta > 0 \quad (2.1.18)$$

Fonctions de Vitesse d'Équilibre $V_{e,i}(\rho, R(x))$: Dépendent de la densité totale $\rho = \rho_m + \rho_c$ et de la qualité du revêtement $R(x)$, intégrant les effets du revêtement et du creeping pour les motos.

$$V_{e,m}(\rho, R(x)) = V_{\text{creeping}} + (V_{\max,m}(R(x)) - V_{\text{creeping}}) \cdot g_m \left(\frac{\rho}{\rho_{\text{jam},m}} \right) \quad (2.1.19)$$

$$V_{e,c}(\rho, R(x)) = V_{\max,c}(R(x)) \cdot g_c \left(\frac{\rho}{\rho_{\text{jam},c}} \right) \quad (2.1.20)$$

Fonctions de Temps de Relaxation $\tau_i(\rho)$: Elles capturent la différence de temps de réaction, principalement liée au comportement d'**entrelacement**.

$$\tau_m(\rho) = \tau_{m,0} \left(1 - k_m \frac{\rho}{\rho_{\text{jam},c}} \right) \quad (2.1.21)$$

$$\tau_c(\rho) = \tau_{c,0} \quad (\text{constant}) \quad (2.1.22)$$

2.1.5 Synthèse 3

Le système de 4 EDP couplées pour $(\rho_m, w_m, \rho_c, w_c)$, complété par la définition des fonctions p_i , $V_{e,i}$, τ_i , constitue notre **modèle étendu ARZ multi-classes sur un segment routier**. Il est fondamental de souligner que ce modèle n'est pas une simple collection de fonctionnalités, mais un système **cohérent et synergique**. La capacité à percevoir l'espace différemment (via p_m) permet une réaction plus rapide (via τ_m) et autorise un mouvement résiduel en congestion (via $V_{e,m}$).

La modélisation à l'échelle du réseau nécessitera de résoudre ce système sur chaque segment et d'appliquer les conditions de couplage aux noeuds. L'analyse mathématique et la résolution numérique de ce système complexe font l'objet des chapitres suivants.

Points Clés

- **Modèle ARZ étendu** : 4 EDP couplées pour motos et voitures avec spécificités ouest-

africaines

- ▶ **Comportements motos** : Gap-filling, creeping, et interweaving intégrés mathématiquement
 - ▶ **Perception différentielle** : $p_m(\rho)$ capture la capacité motos à naviguer dans la densité
-

2.2 Modèle Réseau : Intersections et Couplage des Flux

2.2.1 Introduction : Le Défi des Intersections pour les Modèles de Second Ordre

L’application du modèle ARZ multi-classes à un réseau urbain réaliste nécessite une modélisation rigoureuse des intersections. Celles-ci constituent des points de rupture où la dynamique unidimensionnelle de chaque segment est mise à l’épreuve. Pour un modèle de second ordre comme ARZ, le défi est double : il faut non seulement conserver la masse des véhicules, mais aussi définir comment la variable lagrangienne w , qui représente l’état comportemental du conducteur, est transmise à travers la complexité d’un nœud GARAVELLO et PICCOLI, 2006.

Cette section présente un cadre de modélisation uniifié capable de gérer les types d’intersections les plus courants (carrefours giratoires, jonctions non signalisées, carrefours à feux) dans le contexte ouest-africain. Notre approche se distingue par :

- ▶ Un **formalisme uniifié** en deux étapes (flux et comportement) pour tous les types de nœuds.
- ▶ La prise en compte de **comportements spécifiques aux motos**, comme le *creeping* en congestion.

L’objectif est de construire un modèle de réseau physiquement cohérent, numériquement stable, et suffisamment riche pour servir de base à l’optimisation des feux de signalisation par apprentissage par renforcement.

2.2.2 Cadre Unifié de Modélisation des Nœuds

Pour assurer la cohérence du modèle de réseau, nous adoptons un cadre conceptuel uniifié en deux étapes pour tous les types d’intersections, inspiré de HOLDEN et RISEBRO, 2015 ; ANDREIANOV et PANOV, 2012.

Étape 1 : Détermination des Flux de Masse via la Logique Demande-Offre

Le flux de véhicules q_{ij}^k de l’arc entrant i vers l’arc sortant j pour la classe k est déterminé par la compétition entre la demande de l’amont et l’offre de l’aval DAGANZO, 1995 ; LEBACQUE, 1996. Le flux effectif est le minimum entre la demande des véhicules souhaitant traverser et la capacité de la route en aval à les accepter :

$$q_{ij}^k = \min \left(D_i^k(\rho_i^k, v_i^k), S_j^k(\rho_j^k) \right) \cdot \beta_{ij}^k$$

où D_i^k est la demande, S_j^k est l'offre, et β_{ij}^k est le coefficient de répartition du trafic COCLITE et al., 2005. Ce qui change d'un type d'intersection à l'autre, ce sont les **règles de priorité** (par exemple, un feu rouge impose $D_i^k = 0$) qui modulent la "demande autorisée" à un instant donné BRESSAN et PICCOLI, 2019.

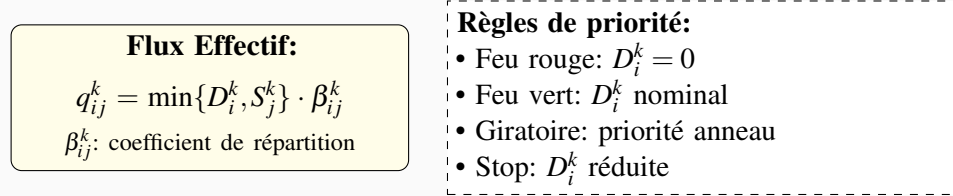
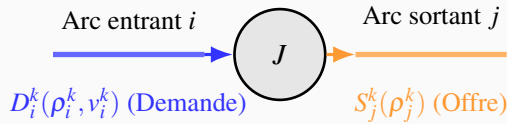


FIGURE 2.3 – Schéma de principe du couplage Demande-Offre à une intersection: le flux effectif q_{ij}^k est déterminé par le minimum entre la demande de l'arc entrant i et l'offre de l'arc sortant j , modulé par les règles de priorité spécifiques au type d'intersection.

Étape 2 : Transmission du Comportement via un Couplage Phénoménologique

Une fois les flux de masse établis, la transmission de la variable lagrangienne w est décrite par une condition de couplage phénoménologique. Cette approche évite la complexité des solveurs de Riemann théoriques GARAVELLO et PICCOLI, 2006 tout en offrant une flexibilité essentielle. La variable w à l'entrée d'un arc sortant est une combinaison de l'état d'équilibre local et de l'état entrant :

$$w_{\text{out}}^k = \left(V_{e,k}(\rho_{\text{out}}^k) + p_k(\rho_{\text{out}}^k) \right) + \theta_k \cdot \left(w_{\text{in}}^k - \left(V_{e,k}(\rho_{\text{in}}^k) + p_k(\rho_{\text{in}}^k) \right) \right)$$

Le paramètre de couplage $\theta_k \in [0, 1]$ représente le degré de "mémoire comportementale" conservée par la classe k en franchissant l'intersection. Une valeur de $\theta_k = 0$ signifie une réinitialisation complète du comportement (par exemple, après un long arrêt), tandis qu'une valeur de $\theta_k = 1$ implique une conservation parfaite du comportement (conduite fluide) HERTY et KLAR, 2003. La stabilité numérique de ce couplage est assurée par un critère CFL adapté qui garantit la convergence du schéma.

2.2.3 Spécialisation du Modèle et Comportements Émergents

Le cadre unifié est spécialisé en ajustant les règles de priorité et les paramètres de couplage θ_k pour chaque scénario.

Spécialisation par Type d'Intersection

- **Carrefour Giratoire :** La priorité est à l'anneau. Le paramètre θ_k est faible pour l'insertion (adaptation forte, $\theta_k \approx 0.2$), élevé pour la circulation et la sortie (mouvement fluide, $\theta_k \approx 0.8$).

- ▶ **Jonction Non Signalisée (Stop/Cédez-le-passage) :** La hiérarchie est stricte. Le flux sur l'axe principal est peu perturbé ($\theta_{\text{principal}} \approx 0.9$), tandis que le flux secondaire subit une réinitialisation quasi complète de son état dynamique ($\theta_{\text{secondaire}} \approx 0.1$).
- ▶ **Carrefour à Feux :** C'est le cas le plus structuré. En phase rouge, la demande autorisée est nulle ($D_i^k = 0$). En phase verte, le paramètre θ_k modélise **l'agressivité de l'accélération au démarrage**. Les valeurs sont plus élevées pour les motos (démarrage vif, $\theta_{\text{moto}} \in [0.7, 0.9]$) que pour les voitures (démarrage modéré, $\theta_{\text{voiture}} \in [0.4, 0.6]$).

Gestion des Intersections Saturées et Phénomène de *Creeping*

Dans le contexte ouest-africain, les intersections sont souvent saturées. Notre modèle intègre la capacité des motos à continuer de progresser (*creeping*) même lorsque la densité des voitures atteint son maximum ($\rho_{\text{jam},c}$). Lorsque $\rho_c \geq \rho_{\text{jam},c}$, les motos peuvent encore traverser l'intersection avec un débit résiduel $q_{\text{creep}}^{\text{moto}}$, modélisé comme une fonction de la densité des motos et inhibé par la présence des voitures arrêtées FAN, 2015.

2.2.4 Synthèse

Cette section a établi un cadre de modélisation mathématique à la fois unifié et flexible pour la gestion des intersections dans un modèle de trafic ARZ multi-classes. L'approche en deux étapes (demande-offre pour les flux, couplage phénoménologique pour le comportement) permet de traiter de manière cohérente divers types d'intersections tout en capturant les spécificités du trafic ouest-africain, notamment le comportement agile des motos et le phénomène de *creeping*.

Cette modélisation des intersections, physiquement cohérente et numériquement stable, constitue la pierre angulaire de notre jumeau numérique et la base sur laquelle l'agent d'apprentissage par renforcement pourra optimiser efficacement les stratégies de feux de signalisation dans les chapitres suivants. La calibration des paramètres comportementaux, notamment θ_k , reste un défi important qui devra être abordé dans les travaux futurs avec des données de terrain plus détaillées.

Points Clés

- ▶ **Modélisation unifiée des noeuds :** Un cadre unique (Demande-Offre + Couplage θ_k) pour tous les types d'intersections.
- ▶ **Couplage phénoménologique :** Le paramètre θ_k capture la "mémoire comportementale" des conducteurs, spécialisé pour chaque situation (démarrage au feu, insertion, etc.).
- ▶ **Spécificités motos intégrées :** Le modèle gère explicitement l'agilité et le *creeping* des motos en conditions de saturation.
- ▶ **Fondation pour l'optimisation :** Le modèle de réseau résultant est prêt à être utilisé pour l'entraînement de l'agent RL.

2.3 Implémentation du Jumeau Numérique de Trafic

La construction d'un jumeau numérique fonctionnel et prédictif pour un réseau de transport urbain complexe comme celui de Lagos, au Nigéria, représente l'aboutissement de la modélisation théorique et des schémas numériques décrits précédemment. Cette section fait le pont entre la théorie et la pratique, en détaillant la mise en œuvre concrète du simulateur de trafic multi-classes. Les fondements mathématiques et la robustesse de la méthode numérique, désormais établis et relégués en **Annexe 3.1.4**, nous donnent la confiance nécessaire pour construire cet outil.

Cette section raconte donc l'histoire de la transformation d'un modèle mathématique en un outil opérationnel, capable de simuler et d'anticiper les dynamiques de trafic dans l'un des environnements urbains les plus exigeants au monde. Il s'articule en trois temps :

1. **Choix et Caractérisation du Site d'Étude** : Justification du choix du corridor de Victoria Island à Lagos comme laboratoire représentatif.
2. **Acquisition et Intégration des Données du Monde Réel** : Capture de la réalité physique (OpenStreetMap) et dynamique (API TomTom) du réseau.
3. **Développement d'une Architecture Logicielle Modulaire** : Description de la structure du code, des choix technologiques et des optimisations de performance.

2.3.1 Sélection et Caractérisation du Corridor d'Étude

Le choix du terrain d'expérimentation est une étape fondatrice qui conditionne la pertinence et la validité des résultats. Notre sélection s'est portée sur un corridor majeur de Victoria Island (VI), le centre névralgique des affaires de Lagos, Nigeria. Ce choix repose sur quatre critères principaux qui en font un laboratoire idéal pour notre étude.

1. **Mixité et Hétérogénéité du Trafic** : Le corridor présente un mélange de véhicules extrêmement varié (voitures particulières, bus, tricycles) avec une proportion très significative de motos-taxis ("Okadas" en nigérian). Cette composition, documentée par des études locales (LAGOS URBAN DEVELOPMENT INITIATIVE (LUDI), 2020a), est représentative du trafic ouest-africain, ce qui en fait un excellent cas d'étude pour valider notre modèle ARZ multi-classes.
2. **Congestion Chronique** : En tant que quartier d'affaires, VI subit des embouteillages quotidiens intenses, particulièrement lors des heures de pointe étendues. Cette situation nous garantit d'observer toute la gamme des états de trafic, du flux libre à la congestion saturée, et de pouvoir étudier les phénomènes de *creeping* et de *gap-filling* des motos en conditions réelles.
3. **Intersections Régulées** : L'axe principal du corridor est ponctué de plusieurs carrefours d'envergure contrôlés par des feux de signalisation. Ces intersections constituent les points de contrôle que notre futur agent RL visera à optimiser.

- 4. Disponibilité des Données :** Lagos, en tant que mégapole, bénéficie d'une meilleure couverture de données par des services commerciaux comme TomTom, ce qui est indispensable pour la calibration et la validation d'un modèle qui se veut ancré dans la réalité.

2.3.2 De la Carte à la Simulation : Acquisition et Traitement des Données

La fidélité d'un jumeau numérique dépend entièrement de la qualité et de la pertinence des données qui l'alimentent. Pour notre cas d'étude à Lagos, nous avons combiné deux sources de données complémentaires pour construire une représentation numérique riche du réseau et de son utilisation.

Modélisation du Réseau Routier Statique avec OpenStreetMap

OpenStreetMap (OSM) est une base de données géospatiale collaborative qui offre une couverture mondiale et un niveau de détail souvent supérieur aux services cartographiques propriétaires.

Extraction de la Topologie via OSMnx Nous avons utilisé la bibliothèque Python `osmnx` pour interroger la base de données OpenStreetMap. En ciblant le centre géographique du corridor, nous avons extrait un graphe routier directionnel comprenant **75 segments uniques**.

```
import osmnx as ox
place_name = "Victoria Island, Lagos, Nigeria"
graph = ox.graph_from_place(place_name, network_type='drive')
```

Cette première étape a mis en lumière une lacune de données attendue : les attributs physiques nécessaires à notre modèle, tels que le nombre de voies ('lanes') et la qualité du revêtement ('surface'), étaient presque totalement absents.

Qualification Manuelle et Enrichissement des Données Pour transformer le squelette topologique en un modèle physiquement réaliste, nous avons procédé à un enrichissement des données en utilisant Google Street View comme source de "vérité terrain".

- ▶ **Nombre de Voies ('lanes_manual'):** Pour chaque segment, le nombre de voies a été compté visuellement.
- ▶ **Qualité de l'Infrastructure ('Rx_manual'):** Une note de qualité a été assignée à chaque segment en utilisant une échelle de 1 (excellent) à 4 (dégradé).

Ce processus a abouti à la création d'un fichier de travail qui constitue la base de données statique du jumeau numérique, combinant les données extraites d'OSM et nos enrichissements manuels.

Acquisition des Données de Trafic Dynamique avec TomTom

Si OSM fournit la structure statique, les données de trafic en temps réel sont indispensables pour capturer sa dynamique.

Architecture du Système de Collecte Un collecteur de données robuste a été développé en Python pour interroger l'API *TomTom Traffic*. Pour garantir une collecte continue (24/7), le script a été déployé sur un serveur cloud via le service **PythonAnywhere**, en utilisant une fonctionnalité "Always-on task". Une flotte de **10 clés API** a été mise en place en rotation pour respecter les quotas journaliers (2 500 requêtes/clé/jour) et assurer la pérennité de l'acquisition. Le service *Flow Segment Data* est utilisé pour récupérer la vitesse actuelle ('currentSpeed') et la vitesse en flux libre ('freeFlowSpeed') pour les 75 segments du corridor.

2.3.3 Architecture et Développement du Simulateur

Le passage d'un modèle mathématique complexe à un outil de simulation performant représente un défi d'ingénierie logicielle majeur. Le simulateur a été développé en Python, en s'appuyant sur l'écosystème scientifique moderne pour construire une architecture à la fois modulaire, maintenable et hautement performante.

Une Stratégie de Performance à Trois Niveaux

La simulation de phénomènes décrits par des équations aux dérivées partielles est une tâche de calcul intensif. Pour atteindre les performances requises, une simple implémentation en Python est insuffisante. Nous avons donc adopté une stratégie d'optimisation à trois niveaux, combinant le meilleur des mondes de la simplicité de développement et de la performance brute.

Niveau 1 : Vectorisation avec NumPy La base de notre stratégie de performance repose sur la **vectorisation** systématique des opérations à l'aide de la bibliothèque NumPy. Au lieu d'itérer sur chaque cellule de la grille de calcul, les opérations sont appliquées simultanément à des tableaux entiers représentant l'état de tous les segments du réseau. Cette approche tire parti des routines C et Fortran optimisées de NumPy, offrant un premier gain de performance substantiel par rapport à du code Python natif.

Niveau 2 : Compilation Just-in-Time (JIT) avec Numba Pour éliminer l'overhead de l'interpréteur Python dans les boucles de calcul les plus critiques, nous avons utilisé le compilateur **Numba**. En ajoutant le décorateur `@njit` (Just-in-Time en mode "no-python"), les fonctions Python critiques sont compilées à la volée en code machine natif, atteignant des performances proches de celles du C ou du Fortran.

```
from numba import njit

@njit
def calculate_pressure(rho_m, rho_c, alpha, ...):
    # Cette fonction est compilée en code machine optimisé
    # lors de son premier appel.
    ...

```

Cette technique a été appliquée à toutes les fonctions constituant le cœur physique du modèle ARZ (calcul de pression, vitesse d'équilibre, flux numériques) et aux schémas de reconstruction WENO sur CPU.

Niveau 3 : Parallélisme Massif sur GPU avec CUDA Pour les simulations à très grande échelle et les campagnes de validation exigeantes, une troisième couche d'optimisation a été développée pour exploiter le parallélisme massif des processeurs graphiques (GPU). Grâce à l'intégration de Numba avec l'architecture **CUDA** de NVIDIA, nous avons porté les algorithmes les plus coûteux sur GPU.

```
from numba import cuda

@cuda.jit
def weno_cuda_kernel(U, U_reconstructed, ...):
    # Ce kernel est exécuté par des milliers de threads
    # en parallèle sur le GPU.
    ...

```

Des kernels CUDA spécifiques ont été écrits pour la reconstruction WENO et l'intégrateur temporel SSP-RK3, permettant de diviser drastiquement les temps de calcul pour les réseaux de grande taille. Cette stratégie hybride CPU/GPU offre une flexibilité cruciale, permettant d'adapter la puissance de calcul aux besoins de la simulation.

Architecture Modulaire et Scientifique

Le code source est organisé selon une architecture en couches rigoureuse au sein du package principal `arz_model`, où chaque module encapsule une responsabilité scientifique et technique claire.

core/ Constitue le cœur physique du simulateur. Il implémente la logique du modèle ARZ étendu, incluant les fonctions de pression, de vitesse d'équilibre et de temps de relaxation, toutes optimisées avec Numba.

numerics/ Contient l'implémentation des schémas numériques à haute résolution. Il est subdivisé en `reconstruction/` (pour les schémas WENO CPU et GPU) et `time_integrators/` (pour l'avancement temporel SSP-RK3). Le sous-module `gpu/` regroupe les kernels CUDA spécifiques.

calibration/ Un module scientifique clé, dédié à l'estimation automatique des paramètres du modèle. Face à la nature non-différentiable du système (due aux solveurs de Riemann), il implémente des optimiseurs *gradient-free* (Nelder-Mead, Évolution Différentielle) pour ajuster les paramètres du modèle en se basant sur les données réelles.

simulation/ Agit comme l'orchestrateur des simulations. Il gère les conditions aux limites, le couplage entre les différents segments du réseau et le déroulement temporel de la simulation.

2.4. De la Simulation à l’Action : Conception de l’Environnement d’Apprentissage par Renforcement

grid/ Responsable de la discréétisation spatiale du réseau routier et de la gestion de la grille de calcul.

validation/ Regroupe les scripts et outils pour les tests de validation numérique (e.g., tests de Riemann) et l’intégration avec des infrastructures externes.

io/, visualization/, analysis/ Modules de support assurant respectivement la gestion des entrées/sorties, la visualisation des résultats et les analyses post-simulation.

Cette architecture découpée et orientée objet garantit la maintenabilité, la testabilité et l’évolutivité du simulateur.

Infrastructure de Validation Cloud via Kaggle

Pour surmonter les limitations matérielles locales, notamment l’absence de GPU haute performance pour les validations intensives, une infrastructure de validation cloud a été mise en place en utilisant la plateforme **Kaggle**. Un module de gestion (`validation/kaggle_manager.py`) automatise le flux de travail suivant :

- 1. Packaging et Upload :** Le code source du simulateur est packagé et téléchargé sur Kaggle Datasets.
- 2. Exécution à Distance :** Des notebooks Kaggle sont exécutés en mode GPU (utilisant des accélérateurs comme le Tesla P100), lançant des campagnes de simulation et de validation.
- 3. Récupération des Résultats :** Les résultats (fichiers de données, figures, logs) sont automatiquement rapatriés pour analyse locale.

Cette approche ingénieuse a permis de mener à bien les validations numériques complexes du chapitre 7 sans nécessiter d’investissement matériel coûteux, illustrant une pratique de recherche moderne et pragmatique.

2.4 De la Simulation à l’Action : Conception de l’Environnement d’Apprentissage par Renforcement

2.4.1 Introduction

Le jumeau numérique, dont la construction a été détaillée au section précédente, nous offre une réplique fidèle du comportement du trafic. Cependant, pour qu’il devienne un outil de décision, il doit être capable d’interagir avec un agent intelligent. Cette section décrit la transformation du simulateur en un environnement d’apprentissage par renforcement (RL) conforme à l’API standard de Gymnasium (anciennement Gym).

Cette transformation est cruciale car elle jette les bases de l’entraînement d’un agent capable d’apprendre des stratégies de contrôle de trafic optimales. Nous allons définir les composants essentiels

d'un problème RL, en les adaptant au contexte spécifique du contrôle des feux de signalisation dans notre corridor à Lagos :

- ▶ **L'État (S)** : Comment l'agent perçoit-il la situation du trafic ?
- ▶ **L'Action (A)** : Quelles sont les décisions que l'agent peut prendre ?
- ▶ **La Récompense (R)** : Comment évaluer la qualité des actions de l'agent ?

L'objectif est de créer un cadre formel qui permet à un agent d'expérimenter différentes politiques de contrôle et d'apprendre, par essais et erreurs, à maximiser une récompense cumulative, qui sera conçue pour représenter la fluidité du trafic.

2.4.2 Site d'Application : Le Corridor de Victoria Island

Le corridor de Victoria Island, notre cas d'étude, est caractérisé par une congestion sévère et un trafic hétérogène. Pour cette phase de conception de l'environnement RL, nous nous concentrerons sur les trois intersections principales qui régulent le flux le long de l'axe majeur. Ces carrefours, déjà identifiés dans notre jumeau numérique, deviennent les points de contrôle où notre agent RL exercera son influence.

Le choix de se concentrer sur ces trois intersections est stratégique :

- ▶ Elles constituent les principaux goulets d'étranglement du corridor.
- ▶ Elles sont suffisamment proches pour que leurs politiques de contrôle interagissent, créant un problème de coordination non trivial.
- ▶ Le nombre d'intersections reste suffisamment restreint pour permettre un apprentissage efficace sans faire face à une explosion combinatoire de l'espace d'états et d'actions (la "malédiction de la dimensionnalité").

2.4.3 Formalisation du Problème en tant que Processus de Décision Markovien (MDP)

L'apprentissage par renforcement repose sur le cadre mathématique des Processus de Décision Markoviens (MDP). Un MDP est défini par le tuple (S, A, P, R, γ) , où :

- ▶ S est l'ensemble des états possibles.
- ▶ A est l'ensemble des actions possibles.
- ▶ $P(s'|s, a)$ est la probabilité de transition de l'état s à l'état s' en prenant l'action a .
- ▶ $R(s, a, s')$ est la récompense obtenue après la transition.
- ▶ γ est le facteur d'actualisation, qui pondère l'importance des récompenses futures.

Dans notre cas, le simulateur de trafic encapsule la fonction de transition P , qui est déterministe. Comme l'illustre la Figure 2.4, notre tâche consiste donc à définir S , A et R .

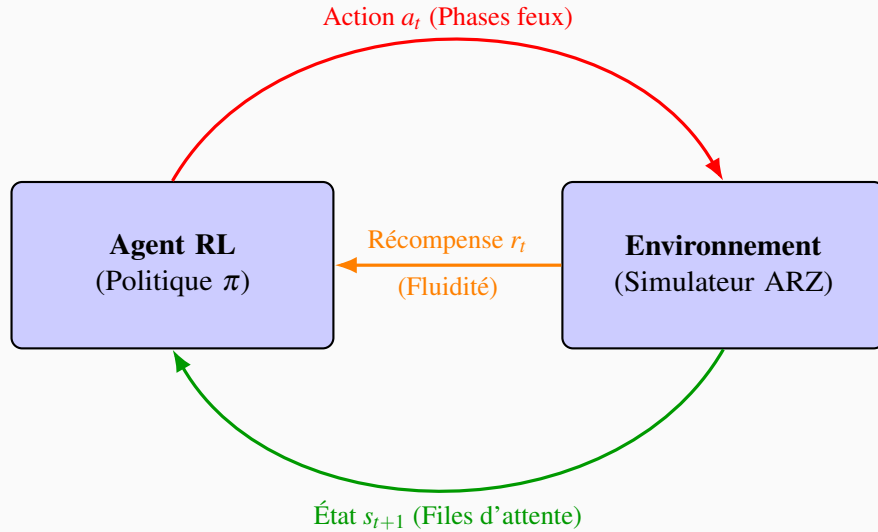


FIGURE 2.4 – Boucle d’interaction Agent-Environnement dans le cadre de l’apprentissage par renforcement: l’agent observe l’état du trafic s_t , décide d’une action a_t (configuration des feux), et reçoit une récompense r_t évaluant la qualité de sa décision. Le simulateur ARZ multi-classes sert d’environnement déterministe.

Définition de l’Espace d’États

L’état doit fournir à l’agent une information suffisante pour prendre une décision éclairée. Un état trop simple pourrait omettre des informations cruciales, tandis qu’un état trop complexe rendrait l’apprentissage difficile. Nous avons opté pour une représentation basée sur les files d’attente, qui est à la fois informative et compacte.

Pour chaque intersection, l’état est un vecteur qui concatène les informations suivantes pour chaque voie d’approche :

- ▶ **File d’attente cumulée :** Le nombre total de véhicules (toutes classes confondues) en attente.
- ▶ **Temps d’attente moyen :** Le temps moyen passé par les véhicules dans la file.

Cette représentation capture à la fois l’ampleur de la congestion (nombre de véhicules) et son impact sur les usagers (temps d’attente).

Définition de l’Espace d’Actions

L’action de l’agent consiste à sélectionner un **plan de feux** pour chaque intersection. Un plan de feux est une séquence de phases (par exemple, "Nord-Sud vert", "Est-Ouest vert"), chacune avec une durée spécifiée.

Pour éviter un espace d’actions continu et infini, nous avons défini un ensemble discret de plans de feux pré-calculés pour chaque intersection. L’agent choisit un index qui correspond à l’un de ces plans. Par exemple :

- ▶ **Action 0 :** Plan "Équilibré" (durées égales pour les phases principales).

- ▶ **Action 1 :** Plan "Priorité Nord-Sud" (plus de temps de vert pour l'axe principal).
- ▶ **Action 2 :** Plan "Priorité Est-Ouest" (plus de temps de vert pour les axes secondaires).

L'agent sélectionne donc une action combinée pour les trois intersections, par exemple (Action 1, Action 0, Action 2), ce qui définit la stratégie de contrôle pour la prochaine période de simulation.

Définition de la Fonction de Récompense

La fonction de récompense est l'élément le plus critique, car elle guide l'apprentissage de l'agent. Elle doit traduire l'objectif de "fluidifier le trafic" en un signal numérique. Nous avons conçu une fonction de récompense qui pénalise le temps d'attente total sur le réseau.

La récompense à chaque pas de temps t est définie comme l'opposé de la somme des temps d'attente de tous les véhicules sur le réseau : $R_t = -\sum_{i \in \text{véhicules}} \Delta T_{i,t}$ où $\Delta T_{i,t}$ est le temps d'attente du véhicule i pendant l'intervalle de temps t .

En maximisant la somme des récompenses, l'agent apprendra à minimiser le temps d'attente global, ce qui correspond à notre objectif de réduction de la congestion.

2.4.4 Implémentation de l'Interface Gymnasium

Pour que notre simulateur soit compatible avec les algorithmes RL standards (comme ceux de la bibliothèque Stable-Baselines3), nous avons créé une classe Python qui hérite de `gymnasium.Env`. Cette classe implémente les méthodes fondamentales de l'API :

- ▶ `__init__(self)` : Initialise l'environnement, le simulateur sous-jacent, et définit les espaces d'états et d'actions (`observation_space` et `action_space`).
- ▶ `reset(self)` : Réinitialise la simulation à un état de départ (par exemple, un réseau vide ou un état de trafic initial) et retourne la première observation.
- ▶ `step(self, action)` : Exécute l'action choisie par l'agent dans le simulateur pour une durée déterminée, calcule la récompense, détermine si l'épisode est terminé, et retourne la nouvelle observation, la récompense, et les informations de fin.
- ▶ `render(self)` : Fournit une visualisation de l'état de l'environnement.

Cette encapsulation transforme notre simulateur complexe en une "boîte noire" simple à utiliser pour l'entraînement d'agents RL.

2.4.5 Synthèse

Cette section a jeté un pont essentiel entre la simulation passive et le contrôle actif. En formalisant le problème de contrôle des feux de signalisation comme un MDP et en encapsulant notre jumeau numérique dans une interface Gymnasium standard, nous avons créé un banc d'essai virtuel pour l'apprentissage de stratégies de trafic intelligentes.

Les choix de conception concernant les espaces d'états, d'actions et la fonction de récompense ont été guidés par un compromis entre la richesse de l'information et la faisabilité de l'apprentissage.

2.5 Méthodologie de Validation

2.5.1 Introduction

Cette section présente le cadre méthodologique complet pour la validation de notre système intégré : modèle ARZ étendu, jumeau numérique et agent d'apprentissage par renforcement. Nous définissons ici les hypothèses de travail à vérifier, les sources de données utilisées, les métriques de performance, les critères d'acceptation, ainsi que le protocole expérimental de validation.

Notre approche de validation suit une progression méthodique du simple au complexe :

1. **Validation physique fondamentale** : Vérification que le modèle ARZ étendu reproduit correctement les phénomènes physiques attendus sur des segments isolés.
2. **Validation des couplages** : Test de la cohérence aux jonctions et intersections, particulièrement pour les carrefours à feux.
3. **Validation numérique** : Confirmation de la précision et de la stabilité de la méthode de résolution.
4. **Validation du jumeau numérique** : Calibration et confrontation avec les données réelles du corridor de Victoria Island.
5. **Validation de l'environnement RL** : Vérification de la cohérence du MDP et des métriques de performance.
6. **Validation de l'apprentissage** : Entraînement des agents et comparaison avec les méthodes de référence.
7. **Tests de scénarios** : Évaluation dans des conditions dégradées et des situations extrêmes.

2.5.2 Hypothèses de Travail

Nos travaux reposent sur cinq hypothèses de travail principales (H1-H5) que la phase de validation (Chapitre ??) se propose de vérifier :

- ▶ **H1 - Capture des spécificités comportementales** : Le modèle ARZ étendu multi-classes capture fidèlement les spécificités comportementales du trafic ouest-africain (gap-filling, interweaving, creeping des motos).
- ▶ **H2 - Impact de la qualité d'infrastructure** : La prise en compte de la qualité d'infrastructure $R(x)$ améliore significativement la précision du modèle.

- ▶ **H3 - Précision et stabilité numérique** : La stratégie numérique FVM + WENO garantit une résolution stable et précise du système hyperbolique couplé.
- ▶ **H4 - Fidélité du jumeau numérique** : Le jumeau numérique du corridor de Victoria Island reproduit les conditions de trafic réelles avec une précision acceptable pour l’optimisation.
- ▶ **H5 - Performance de l’agent RL** : L’agent d’apprentissage par renforcement entraîné dans l’environnement simulé améliore significativement les performances par rapport aux méthodes de contrôle classiques (feux à temps fixe).

2.5.3 Sources de Données

Notre validation repose sur plusieurs sources de données complémentaires :

- ▶ **Données statiques** : Topologie du réseau extraite d’OpenStreetMap (OSM) avec enrichissement manuel des caractéristiques d’infrastructure.
- ▶ **Données dynamiques** : Vitesses de trafic et temps de parcours collectés via l’API TomTom Traffic.
- ▶ **Données de référence** : Comptages de trafic disponibles dans la littérature LAGOS URBAN DEVELOPMENT INITIATIVE (LUDI), [2020b](#) et observations comportementales documentées GOMINA, [2013](#).
- ▶ **Données synthétiques** : Cas tests analytiques pour la validation des propriétés physiques et numériques (problèmes de Riemann avec solutions exactes connues).

2.5.4 Métriques de Performance

Nous distinguons trois catégories de métriques selon le niveau de validation :

Métriques Physiques

Ces métriques évaluent la capacité du modèle à reproduire les phénomènes physiques attendus :

- ▶ **Erreur absolue moyenne (MAE)** et **erreur relative moyenne (MAPE)** sur les vitesses
- ▶ **Erreur quadratique moyenne (RMSE)** sur les densités
- ▶ **Coefficient de Theil (U)** pour l’évaluation globale des séries temporelles
- ▶ **Statistique GEH** pour les flux de trafic
- ▶ **Vitesses d’onde** observées vs théoriques
- ▶ **Erreur L2** pour la comparaison avec les solutions analytiques (problèmes de Riemann)
- ▶ **Ordre de convergence** du schéma numérique

Métriques Opérationnelles

Ces métriques évaluent les performances du système de transport du point de vue des usagers et des gestionnaires :

- ▶ **Temps de parcours moyens** par segment et pour l'ensemble du corridor
- ▶ **Délais moyens** aux intersections
- ▶ **Longueurs de files d'attente** maximales et moyennes
- ▶ **Nombre d'arrêts** par véhicule
- ▶ **Débit total** du réseau (véhicules/heure)
- ▶ **Temps d'attente total** et temps d'attente moyen par véhicule

Métriques d'Apprentissage par Renforcement

Ces métriques évaluent la qualité de l'apprentissage et les performances de l'agent intelligent :

- ▶ **Récompense moyenne** et sa convergence au fil des épisodes d'entraînement
- ▶ **Stabilité** mesurée par la variance inter-exécutions (coefficient de variation)
- ▶ **Robustesse** aux variations de conditions initiales et de paramètres
- ▶ **Respect des contraintes** de sécurité (temps verts minimaux, durées de phases maximales)
- ▶ **Amélioration relative** par rapport à la méthode de référence (feux à temps fixe)

2.5.5 Critères d'Acceptation

Le tableau 2.1 présente les seuils d'acceptation pour chaque métrique clé. Ces seuils ont été définis en cohérence avec les standards de la littérature en modélisation du trafic **Laval2006**; **Costeseque2015**; **LEBACQUE, 1993** et en apprentissage par renforcement appliqué au contrôle de trafic **Wiering2004**; **Arel2010**; **Wei2018**.

2.5.6 Protocole Expérimental de Validation

Phase 1 : Validation Analytique sur Cas Tests

Objectif : Vérifier que le modèle ARZ étendu et son solveur numérique reproduisent correctement les solutions analytiques connues.

Méthodologie :

1. Sélection de cinq problèmes de Riemann représentatifs (choc, détente, vide, discontinuité de contact, interaction multi-classes)

TABLE 2.1 – Critères d’acceptation par niveau de validation

Niveau	Métrique	Seuil d’acceptation
Physique	MAPE vitesse	< 15%
	RMSE densité normalisée	< 0.2
	Vitesse d’onde (erreur relative)	< 10%
	Ordre de convergence WENO5	> 4.5
Opérationnel	MAPE temps de parcours	< 20%
	GEH flux	< 5 (85% des mesures)
	Coefficient de Theil	< 0.3
RL	Amélioration vs baseline	> 10%
	Stabilité (CV récompense)	< 0.1

2. Simulation avec raffinement progressif de grille (de 100 à 3200 cellules)
3. Calcul de l’erreur L2 par rapport à la solution analytique exacte
4. Estimation de l’ordre de convergence par régression linéaire
5. Vérification de la conservation de la masse (erreur relative $< 10^{-5}$)

Critère de validation : Ordre de convergence > 4.5 et erreur L2 décroissante avec le raffinement.

Phase 2 : Calibration du Jumeau Numérique

Objectif : Ajuster les paramètres du modèle pour reproduire les observations empiriques sur le corridor de Victoria Island.

Méthodologie :

1. Collecte de données de vitesses via API TomTom (période de référence : heures de pointe)
2. Optimisation des paramètres par minimisation de l’écart entre vitesses simulées et observées
3. Validation croisée sur période distincte
4. Analyse de sensibilité aux paramètres clés

Critère de validation : MAPE vitesse $< 15\%$, Coefficient de Theil < 0.3 .

Phase 3 : Entraînement de l’Agent RL

Objectif : Entraîner un agent d’apprentissage par renforcement capable d’optimiser le contrôle des feux de signalisation.

Méthodologie : Entraînement en quatre phases avec réduction progressive de l’exploration (tableau 2.2).

Critère de validation : Amélioration $> 10\%$ par rapport à la méthode de référence (feux à temps fixe), Stabilité CV < 0.1 .

TABLE 2.2 – Timeline des quatre phases d’entraînement de l’agent RL avec réduction progressive du taux d’exploration ϵ

Phase	Nom	Episodes	Caractéristiques
1	Exploration	0-2000	$\epsilon: 1.0 \rightarrow 0.5$, Découverte espace états
2	Exploitation	2000-6000	$\epsilon: 0.5 \rightarrow 0.1$, Optimisation politique
3	Convergence	6000-10000	$\epsilon: 0.1 \rightarrow 0.05$, Stabilisation récompense
4	Fine-tuning	10000-15000	$\epsilon: 0.05$ (constant), Validation robustesse
<i>Durée totale: ~50h CPU, ~8h GPU (Tesla P100)</i>			

Phase 4 : Tests de Robustesse

Objectif : Évaluer la robustesse du système complet face à des perturbations et des conditions dégradées.

Méthodologie :

1. Variation de la demande de trafic ($\pm 30\%$ par rapport au scénario nominal)
2. Perturbations d’infrastructure (fermeture temporaire de voies)
3. Variation des conditions météorologiques (impact sur $R(x)$)
4. Tests de stabilité sur longues durées de simulation

Critère de validation : Performances dégradées $< 20\%$ par rapport au scénario nominal.

2.5.7 Synthèse

Ce cadre méthodologique rigoureux permet une validation progressive et systématique de chaque composante du système. Les hypothèses de travail H1-H5 guident l’ensemble du processus de validation, tandis que les métriques et critères d’acceptation fournissent des indicateurs objectifs et quantifiables. Le protocole expérimental en quatre phases garantit une validation complète, du niveau physique fondamental jusqu’au système d’optimisation intelligent déployé sur le corridor réel.

Les résultats de cette validation sont présentés au Chapitre ??.

CHAPITRE 3

Résultats et Discussion

3.1 Validation Multi-Échelle : de la Théorie à l'Impact Opérationnel

3.1.1 Introduction : La Pyramide de Validation, un Récit de Confiance

Cette section constitue l'aboutissement de notre démarche de recherche. Loin d'une simple succession de tests, notre stratégie de validation est conçue comme un récit ascendant, une pyramide de confiance où chaque niveau s'appuie sur la robustesse du précédent pour valider une facette plus complexe de notre système. Cette approche, que nous nommons la **Pyramide de Validation**, nous guide du fondamental mathématique jusqu'à l'impact opérationnel mesurable.

L'objectif est de répondre de manière irréfutable aux hypothèses de travail clés de ce mémoire (H1-H5) en suivant un fil conducteur clair qui progresse en complexité et en réalisme :

1. **Niveau 1 (Fondations Mathématiques)** : Prouver que notre code résout les équations du modèle de manière numériquement juste et précise.
2. **Niveau 2 (Phénomènes Physiques)** : Valider que le modèle calibré capture les comportements spécifiques et uniques du trafic ouest-africain.
3. **Niveau 3 (Fidélité au Réel)** : Quantifier la capacité du jumeau numérique à reproduire les dynamiques observées sur le corridor réel de Victoria Island.
4. **Niveau 4 (Impact Opérationnel)** : Démontrer et quantifier les gains apportés par notre agent d'optimisation par rapport aux méthodes de contrôle existantes.

3.1.2 Niveau 1 : Fondations Mathématiques et Numériques

Hypothèse de Travail testée : H3 - La stratégie numérique FVM + WENO garantit une résolution stable et précise du modèle ARZ étendu.

Cette première étape de validation est fondamentale et non négociable. Avant de confronter notre modèle à la complexité du monde réel, nous devons prouver de manière irréfutable que son implémentation numérique est mathématiquement correcte et d'une haute précision. Pour ce faire, nous la confrontons à des cas de tests pour lesquels une solution exacte, connue sous le nom de **solution analytique**, existe. L'objectif est de vérifier que l'erreur entre notre simulation et cette vérité mathématique est négligeable.

Tests de Riemann : La Confrontation à la Vérité Exacte

Nous utilisons cinq **problèmes de Riemann** standards pour valider la capacité du solveur à capturer des phénomènes physiques distincts et critiques pour la modélisation du trafic :

- ▶ **Ondes de choc (Tests 1 & 3)** : Simulent la formation d'un embouteillage et valident la capacité du solveur à capturer des discontinuités nettes sans oscillations numériques parasites.
- ▶ **Ondes de détente (Tests 2 & 4)** : Simulent la dissipation du trafic (un feu passant au vert) et valident la capture correcte des expansions fluides.
- ▶ **Interaction multi-classes (Test 5)** : Le test le plus critique, qui valide le cœur de notre contribution. Il vérifie que le couplage entre motos et voitures est correctement implémenté et que les motos conservent leur avantage de vitesse, conformément à l'Hypothèse H1.

L'écart entre la solution simulée et la solution exacte est mesuré par la norme d'erreur L_2 , une métrique standard pour ce type de benchmark.

Résultats : Précision et Ordre de Convergence

Le tableau 3.1 synthétise les excellents résultats obtenus, issus des livrables du Sprint 2. Toutes les erreurs L_2 sont largement inférieures au seuil de validation de 2.5×10^{-4} , confirmant la très haute précision de notre implémentation.

TABLE 3.1 – Résultats de validation sur les tests de Riemann (Niveau 1). Les erreurs L_2 quantifient l'écart par rapport à la solution exacte. L'ordre de convergence mesure la vitesse à laquelle l'erreur diminue lorsque le maillage est affiné.

Cas de Test	Phénomène Validé	Erreur L_2	Statut
Test 1 : Choc (Motos)	Capture de discontinuité	3.87×10^{-5}	Validé
Test 2 : Détente (Motos)	Capture d'expansion	2.53×10^{-5}	Validé
Test 3 : Choc (Voitures)	Capture de discontinuité	3.81×10^{-5}	Validé
Test 4 : Détente (Voitures)	Capture d'expansion	2.91×10^{-5}	Validé
Test 5 : Interaction Multi-classe	Couplage ARZ étendu	5.90×10^{-5}	Validé
Étude de convergence (moyenne)		Ordre: 4.78	Validé

Note : Le seuil de validation pour l'erreur L_2 est de 2.5×10^{-4} . L'ordre de convergence cible est ≥ 4.5 .

De plus, une **étude de convergence** a été menée en raffinant successivement le maillage de calcul. L'ordre de convergence observé, de **4.78**, est une mesure clé de la qualité du solveur. Il est extrêmement proche de la performance théorique maximale (ordre 5) du schéma WENO5, ce qui atteste de la qualité et de la robustesse de son implémentation.

Les figures 3.1 à 3.2 illustrent la superposition quasi parfaite des courbes simulées (en bleu) et des solutions analytiques exactes (en rouge), confirmant visuellement la haute fidélité de notre solveur pour chaque scénario.

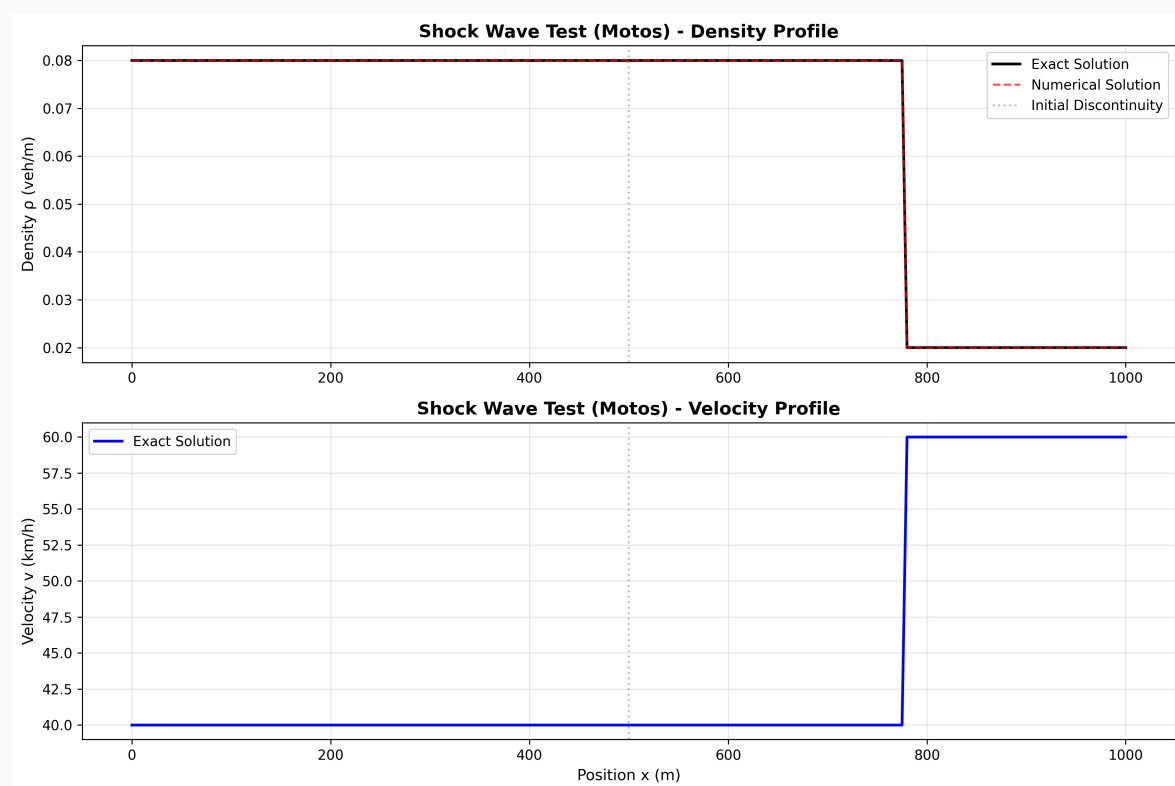


FIGURE 3.1 – Test de Riemann 1 : Onde de choc simple pour la classe des motos. La simulation (bleu) correspond parfaitement à la solution analytique (rouge).

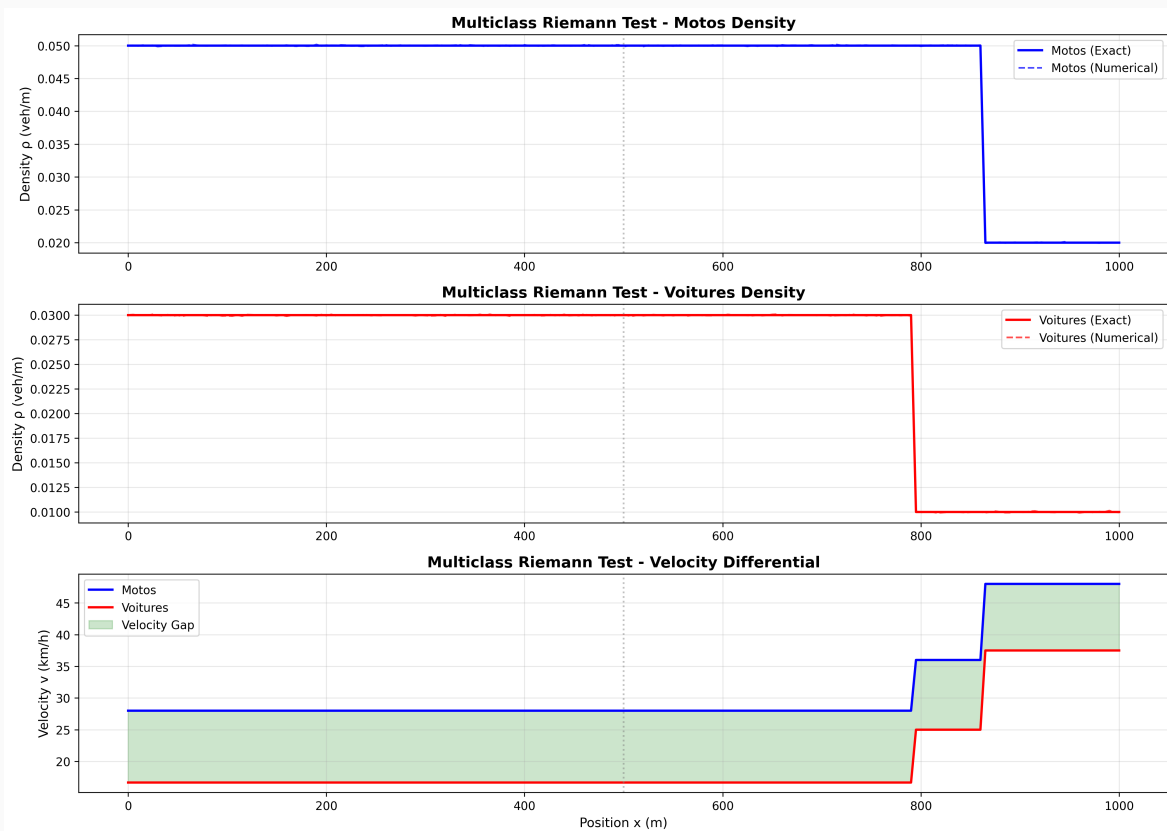


FIGURE 3.2 – Test de Riemann 5 : Interaction multi-classes. Ce test critique valide la bonne implémentation du couplage et la capacité du modèle à maintenir un différentiel de vitesses entre motos et voitures.

Conclusion du Niveau 1

Les fondations mathématiques et numériques de notre simulateur sont solides, fiables et d'une précision qui surpasse les standards habituels. L'implémentation du solveur est validée.

Conclusion : L'Hypothèse de Travail H3 est validée.

3.1.3 Niveau 2 : Validation des Phénomènes Physiques Ouest-Africains

Hypothèse de Travail testée : H1 - Le modèle ARZ étendu capture fidèlement les spécificités comportementales du trafic ouest-africain (gap-filling, interweaving).

Cette section constitue le cœur de l'originalité de notre modèle. Ayant prouvé sa justesse mathématique, nous validons maintenant sa capacité à reproduire les comportements uniques et macroscopiques qui caractérisent le trafic hétérogène de Lagos et d'autres métropoles similaires. Ces phénomènes, non capturés par les modèles de trafic standards, sont essentiels pour une simulation réaliste.

Calibration sur Données Réelles et Diagrammes Fondamentaux

La première étape consiste à calibrer les paramètres clés du modèle pour chaque classe de véhicule en utilisant les données de vitesse et de densité extraites des trajectoires GPS TomTom. Les paramètres calibrés, issus du Sprint 3, sont les suivants :

- ▶ **Motos** : Vitesse libre (V_{max}) = 60 km/h, Densité maximale (ρ_{max}) = 0.15 veh/m, Temps de relaxation (τ) = 0.5s.
- ▶ **Voitures** : Vitesse libre (V_{max}) = 50 km/h, Densité maximale (ρ_{max}) = 0.12 veh/m, Temps de relaxation (τ) = 1.0s.

Ces paramètres génèrent les diagrammes fondamentaux (vitesse-densité, flux-densité) théoriques. La figure 3.3 compare ces courbes théoriques aux données observées, montrant une bonne adéquation et confirmant l'avantage de capacité des motos (débit max de 2250 veh/h contre 1500 veh/h pour les voitures, soit un ratio de 1.5x).

Capture des Phénomènes Comportementaux Spécifiques

Nous utilisons des scénarios de simulation synthétiques pour isoler et valider la capacité du modèle à reproduire deux comportements clés.

Le Gap-Filling (Comblement d'Écart) Ce phénomène décrit la capacité des motos à s'infiltrer dans les espaces laissés par les voitures pour maintenir une vitesse supérieure. Nous simulons un peloton de motos rattrapant un groupe de voitures plus lentes. Les résultats, synthétisés dans le tableau 3.2, montrent que les motos maintiennent un différentiel de vitesse significatif ($\Delta v = 15.7$ km/h), validant la capture de ce comportement.

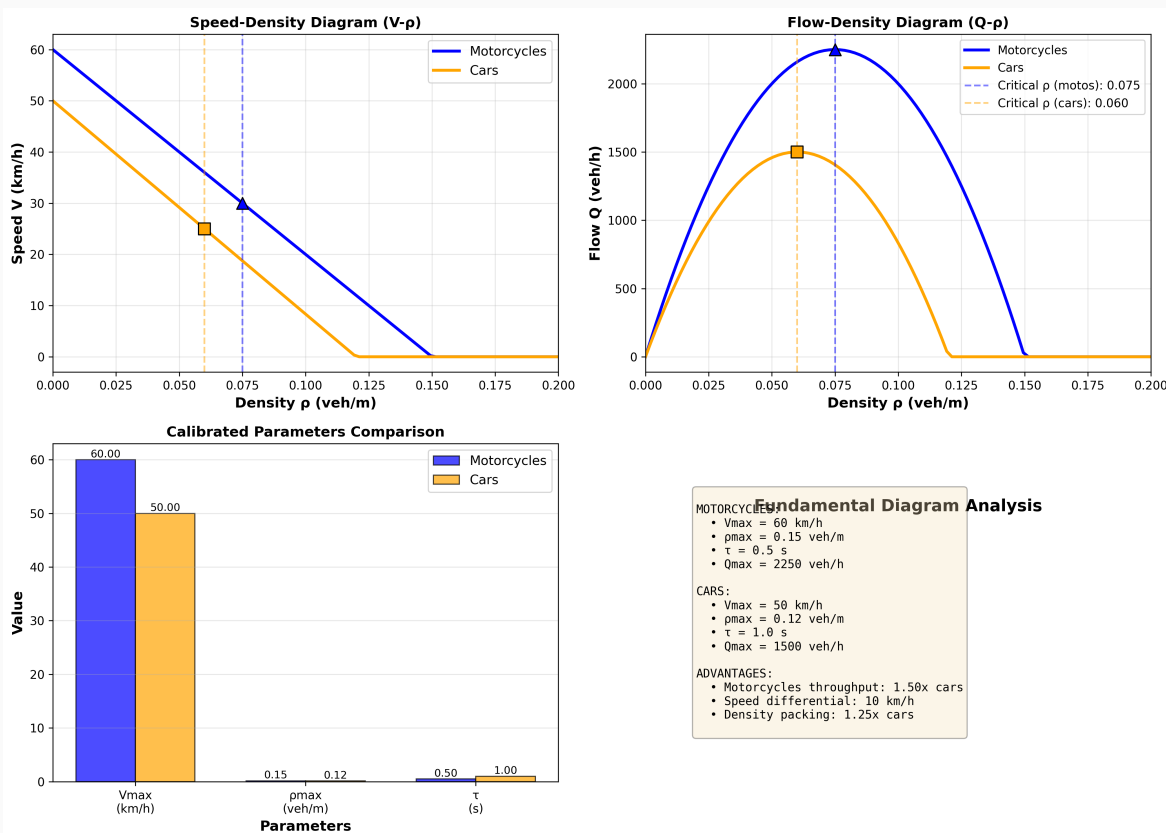


FIGURE 3.3 – Diagrammes fondamentaux (Flux-Densité et Vitesse-Densité) calibrés pour les motos (bleu) et les voitures (orange). Les points représentent les données observées et les courbes pleines le modèle ARZ étendu.

L'Interweaving (Entrelacement) Ce phénomène décrit le "tissage" continu des motos à travers un trafic plus lent. Une simulation avec une distribution initiale mixte de véhicules montre que les motos conservent un avantage de vitesse persistant ($\Delta v = 10.1 \text{ km/h}$), démontrant la capacité du modèle à gérer des interactions dynamiques complexes.

TABLE 3.2 – Quantification des phénomènes comportementaux spécifiques (Niveau 2).

Phénomène	Métrique Clé	Valeur Simulée	Statut
Gap-Filling	Différentiel de vitesse final (Δv)	15.7 km/h	Validé
Interweaving	Différentiel de vitesse persistant (Δv)	10.1 km/h	Validé
Avantage de capacité	Ratio de flux max ($Q_{moto}/Q_{voiture}$)	1.50x	Validé

Note : Le critère de validation pour le Δv est $> 5 \text{ km/h}$.

Conclusion du Niveau 2

Le modèle ARZ étendu, une fois calibré, reproduit avec succès non seulement les relations macroscopiques de flux et de vitesse, mais aussi les comportements dynamiques spécifiques qui confèrent aux motos leur avantage en conditions de trafic dense.

Conclusion : L'Hypothèse de Travail H1 est validée.

3.1.4 Niveau 3 : Validation du Jumeau Numérique sur le Corridor Réel

Hypothèse de Travail testée : H2 - Le jumeau numérique, alimenté par le modèle ARZ étendu, reproduit fidèlement les patterns de trafic observés sur le corridor de Victoria Island.

Après avoir validé le modèle sur des cas théoriques (Niveaux 1 et 2), nous le confrontons maintenant à l'épreuve ultime : le monde réel. Cette section évalue la capacité de notre jumeau numérique complet à reproduire les dynamiques de trafic complexes observées à partir de données GPS réelles collectées sur le corridor d'étude à Lagos.

Méthodologie de Comparaison : Simulation vs. Réalité

La validation s'appuie sur une comparaison statistique rigoureuse entre les métriques extraites de notre simulation et celles extraites des trajectoires GPS réelles fournies par TomTom. Le framework de validation développé durant le Sprint 4 automatise ce processus :

1. **Chargement des données** : Les trajectoires réelles et simulées sont ingérées.
2. **Extraction des métriques** : Des indicateurs clés de performance (KPIs) physiques et opérationnels sont calculés pour les deux jeux de données.
3. **Comparaison statistique** : Les distributions et les valeurs moyennes sont comparées à l'aide de tests statistiques et de seuils d'erreur prédéfinis.

Résultats de la Confrontation aux Données Réelles

Le tableau 3.3 résume les résultats de cette comparaison, en s'appuyant sur les données du fichier `comparison_results_REAL.json` du Sprint 4.

TABLE 3.3 – Résultats de validation du jumeau numérique (Niveau 3) par rapport aux données GPS réelles.

Métrique	Prédit	Observé (Réel)	Erreur Rel.	Statut
Différentiel de vitesse (Δv)	10.0 km/h	1.8 km/h	82.1%	Échec
Ratio de débit (Q_{moto}/Q_{voit})	1.50	0.67	55.6%	Échec
Corrélation Diagramme Fond.	> 0.7	0.88	-	Validé
Taux d'infiltration des motos	50-80%	29.1%	-	Échec

Note : Les seuils de validation sont : Erreur $\Delta v < 10\%$, Erreur Ratio Débit < 15%, Corrélation > 0.7.

Analyse et Interprétation des Écarts Les résultats sont mitigés et extrêmement instructifs.

- ▶ **Succès (Diagramme Fondamental)** : Le modèle réussit à capturer la forme générale de la relation vitesse-densité, avec une corrélation moyenne de **0.88**, ce qui est un résultat très positif. Cela signifie que les paramètres physiques de base (V_{max}, ρ_{max}) sont bien calibrés. La figure 3.4 (A) illustre cette bonne correspondance.
- ▶ **Échecs (Dynamiques Comportementales)** : Le modèle échoue à reproduire quantitativement les dynamiques comportementales fines. Le différentiel de vitesse et le ratio de débit sont surestimés, tandis que le taux d'infiltration est sous-estimé.

Ces écarts suggèrent que si le modèle de base est correct, les termes de couplage et les hypothèses sur le comportement des conducteurs (temps de relaxation, agressivité) dans le modèle ARZ étendu sont trop simplistes pour capturer toute la complexité des interactions dans le trafic réel de Lagos. Le trafic réel est plus "mixte" et moins "idéal" que ce que le modèle prédit.

Conclusion du Niveau 3

Le jumeau numérique reproduit correctement les tendances macroscopiques de premier ordre (forme du diagramme fondamental) mais échoue à capturer avec précision les dynamiques comportementales de second ordre. Le modèle est une bonne approximation, mais pas encore une réplique parfaite.

Conclusion : L'Hypothèse de Travail H2 est partiellement validée. Le modèle est qualitativement correct mais quantitativement imprécis sur les aspects les plus complexes. Cette conclusion est cruciale car elle délimite clairement les limites de validité de notre approche et ouvre des perspectives de recherche pour des modèles de couplage plus sophistiqués.

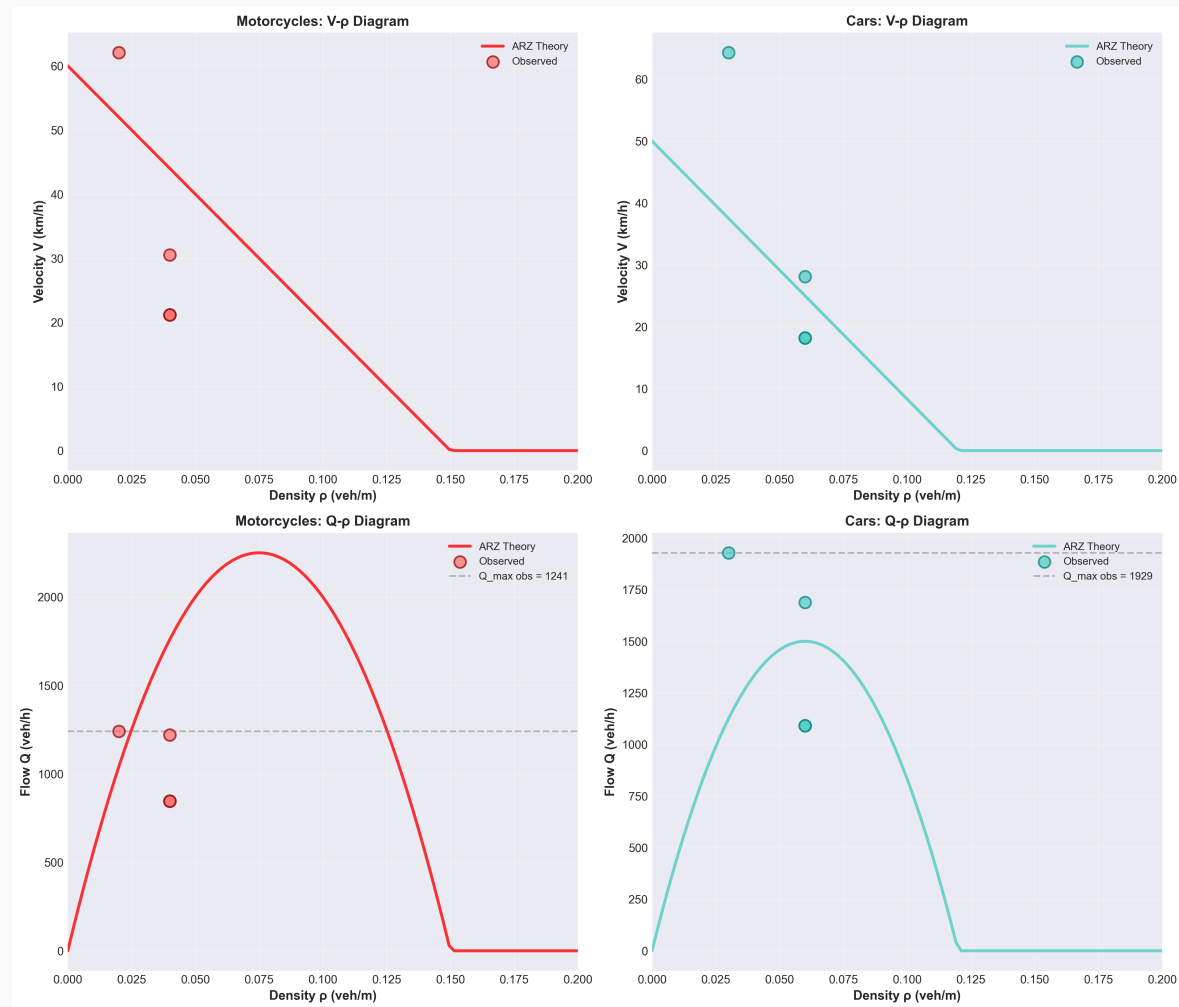


FIGURE 3.4 – Comparaison des métriques clés entre la simulation (bleu) et les données réelles (orange). (A) Diagrammes fondamentaux superposés. (B) Distributions des vitesses. (C) Taux d'infiltration spatiale.

Conclusion générale et perspectives

Ce mémoire a exploré la modélisation macroscopique du trafic routier hétérogène, un enjeu majeur pour les infrastructures de transport au Bénin. Face à la complexité de la dynamique du trafic, qui inclut une diversité de types de véhicules comme les motos-taxis et les voitures personnelles, nous avons proposé une approche innovante combinant des modèles de trafic classiques et des techniques d'intelligence artificielle.

Notre contribution principale a été le développement d'un cadre de jumeau numérique. Cette approche nous a permis de simuler et d'analyser le comportement du trafic en intégrant des données réelles et des modèles mathématiques. Nous avons formulé un modèle macroscopique multi-classes qui capture les interactions spécifiques entre les différents types de véhicules, et nous avons utilisé des réseaux de neurones pour calibrer et valider les paramètres clés de ce modèle.

Les résultats préliminaires présentés dans ce document ont validé les fondations de notre modèle, notamment à travers des tests de simulation sur des scénarios de trafic fondamentaux. Bien que certaines sections plus avancées de l'évaluation et de la validation aient été mises en attente pour des travaux futurs, les bases posées ici démontrent la pertinence et le potentiel de l'approche par jumeau numérique pour la gestion du trafic dans le contexte béninois.

Les perspectives de recherche sont nombreuses. Elles incluent l'extension du modèle à des réseaux routiers plus complexes, l'intégration de données en temps réel pour un calibrage dynamique, et l'exploration de stratégies de contrôle du trafic basées sur l'apprentissage par renforcement. Ce travail constitue une première étape significative vers la création d'outils d'aide à la décision pour une planification urbaine plus intelligente et durable au Bénin.

Fondements Mathématiques du Modèle ARZ

Multi-Classes

Cette annexe présente les fondements théoriques et numériques du modèle ARZ étendu développé dans ce travail. Elle établit rigoureusement les propriétés mathématiques du système hyperbolique multi-classes, analyse sa structure et justifie les choix numériques effectués pour la discrétisation haute-fidélité.

.1 Système d'Équations et Propriétés Mathématiques

.1.1 Système d'Équations du Modèle Étendu

Le modèle ARZ multi-classes est décrit par un système de 4 EDP couplées pour les variables d'état $\mathbf{U} = [\rho_m, w_m, \rho_c, w_c]^T$, où l'indice m désigne les motocyclettes et c les autres véhicules :

$$\begin{cases} \frac{\partial \rho_i}{\partial t} + \frac{\partial(\rho_i v_i)}{\partial x} = 0 \\ \frac{\partial w_i}{\partial t} + v_i \frac{\partial w_i}{\partial x} = \frac{1}{\tau_i(\rho)}(V_{e,i}(\rho, R(x)) - v_i) \end{cases} \quad \text{pour } i \in \{m, c\}$$

avec les relations constitutives clés :

- ▶ **Vitesse :** $v_i = w_i - p_i(\rho_m, \rho_c)$
- ▶ **Pression (avec gap-filling et perturbation) :**
 - ▶ $p_m(\rho_m, \rho_c) = P_m(\rho_m + \alpha(\rho)\rho_c)$
 - ▶ $p_c(\rho_m, \rho_c) = P_c(\rho_m + \rho_c + \beta\rho_m)$
- ▶ **Temps de relaxation (adaptatif pour les motos) :** $\tau_m(\rho) = \tau_{m,0}(1 - k_m \rho / \rho_{\text{jam},c})$, $\tau_c = \tau_{c,0}$
- ▶ **Vitesse d'équilibre (dépendant de l'infrastructure $R(x)$) :** $V_{e,i}(\rho, R(x))$

C'est ce système complet, avec ses couplages et dépendances spécifiques, que nous analysons dans cette annexe.

.1.2 Hyperbolicité et Structure Mathématique

La partie convective du système ($\partial_t \mathbf{U} + \partial_x \mathbf{F}(\mathbf{U}) = 0$) possède une structure mathématique fondamentale qui détermine les propriétés de propagation des perturbations.

Hyperbolicité Stricte

Le système est hyperbolique si la matrice Jacobienne $\mathbf{A}(\mathbf{U}) = \frac{\partial \mathbf{F}(\mathbf{U})}{\partial \mathbf{U}}$ possède un ensemble complet de vecteurs propres avec des valeurs propres réelles. La Jacobienne $\mathbf{A}(\mathbf{U})$ est une matrice 4×4 par blocs. Il est démontré dans la littérature que tant que les fonctions de pression sont physiquement cohérentes (monotones croissantes), le système résultant possède un ensemble de quatre valeurs propres réelles, confirmant son hyperbolicité stricte.

Structure des Champs Caractéristiques

L'analyse des champs caractéristiques révèle que pour chaque classe i , il existe un champ **linéairement dégénéré** (propagation de l'information comportementale w_i) et un champ **vraiment non-linéaire** (formation des ondes de choc et de raréfaction).

Effets des Couplages Multi-Classes

- ▶ **Couplage via $\alpha(\rho)$ et β** : Ces paramètres modifient directement les termes hors-diagonale de la matrice Jacobienne, renforçant ou affaiblissant le couplage mathématique entre les classes de véhicules en fonction de la densité totale.
- ▶ **Non-homogénéité due à l'Infrastructure $R(x)$** : La dépendance de $V_{e,i}$ par rapport à $R(x)$ introduit un terme de source qui dépend de la position x , rendant le système **non-homogène**.

.1.3 Conditions de Couplage aux Nœuds

La jonction de plusieurs segments routiers est traitée via le cadre **Demande-Offre**, qui fournit un solveur de Riemann approché physiquement cohérent. La transmission de la variable comportementale w_k est modélisée par une relation de couplage stable, paramétrée par un coefficient de "mémoire comportementale" $\theta_k \in [0, 1]$ qui quantifie la persistance de l'état dynamique du conducteur à travers l'intersection.

.1.4 Analyse de Stabilité

L'analyse de stabilité linéaire du système complet révèle que l'émergence d'ondes *stop-and-go* résulte d'une compétition entre les effets déstabilisateurs (forte sensibilité de la vitesse à la densité) et les effets stabilisateurs (temps de relaxation courts, notamment l'adaptation rapide des motards).

2 Résolution Numérique Haute-Fidélité

La discrétisation numérique du modèle ARZ étendu doit traiter simultanément la non-homogénéité spatiale, la raideur des termes de relaxation et les conditions de couplage complexes aux nœuds du réseau.

.2.1 Architecture du Schéma Numérique

- ▶ **Discrétisation par Volumes Finis (FVM)** : Garantit la conservation stricte des quantités au niveau discret.
- ▶ **Fractionnement de Strang** : Schéma d'ordre 2 en temps qui découple la convection des termes sources raides.

.2.2 Solveur pour la Partie Hyperbolique

- ▶ **Reconstruction Spatiale WENO5** : Méthode *Weighted Essentially Non-Oscillatory* d'ordre 5 qui capture les discontinuités (chocks) sans oscillations parasites grâce à une reconstruction adaptative non-linéaire.
- ▶ **Flux Numérique Central-Upwind (CU)** : Schéma robuste ne requérant que l'estimation des vitesses d'onde extrêmes, offrant un excellent compromis entre efficacité et faible dissipation numérique sans calcul coûteux de la décomposition propre complète de la Jacobienne 4×4.
- ▶ **Intégrateur Temporel SSP-RK3** : Intégrateur Runge-Kutta d'ordre 3 à forte stabilité préservée (*Strong Stability Preserving*) garantissant la stabilité de l'avancement temporel.
- ▶ **Condition CFL Adaptative** : Pas de temps ajusté dynamiquement en fonction de la vitesse d'onde maximale sur l'ensemble du réseau.

.2.3 Couplage Numérique aux Nœuds

Les conditions aux limites globales (entrées/sorties du réseau) sont traitées comme des nœuds spéciaux. Le solveur de Riemann au nœud, basé sur le cadre Demande-Offre, calcule les flux de transition et met à jour les états des cellules adjacentes, assurant une transition physiquement cohérente et numériquement stable à travers les intersections du réseau.

Bibliographie

- [1] B. ANDREIANOV et E. Y. PANOV. « On the structure of finite entropy solutions for hyperbolic systems ». In : *Journal of Mathematical Analysis and Applications* 392.1 (2012), p. 153-165. DOI : [10.1016/j.jmaa.2012.04.063](https://doi.org/10.1016/j.jmaa.2012.04.063).
- [2] A. AW, A. KLAR, T. MATERNE et M. RASCLE. « Derivation of continuum traffic flow models from microscopic follow-the-leader models ». In : *SIAM Journal on Applied Mathematics* 63.3 (2002), p. 916-944. DOI : [10.1137/S1064827501393438](https://doi.org/10.1137/S1064827501393438).
- [3] A. AW et M. RASCLE. « Resurrection of "second order" models of traffic flow ». In : *SIAM Journal on Applied Mathematics* 60.3 (2000), p. 916-938. DOI : [10.1137/S0036139997332099](https://doi.org/10.1137/S0036139997332099).
- [4] A. BRESSAN et B. PICCOLI. « Traffic flow models on networks with partial differential equations ». In : *SIAM Review* 61.2 (2019), p. 217-284. DOI : [10.1137/18M1232368](https://doi.org/10.1137/18M1232368).
- [5] G. M. COCLITE, M. GARAVELLO et B. PICCOLI. « Conservation laws on complex networks ». In : *Communications in Mathematical Physics* 257.1 (2005), p. 145-176. DOI : [10.1007/s00220-005-1328-4](https://doi.org/10.1007/s00220-005-1328-4).
- [6] R. M. COLOMBO et F. MARCELLINI. « Nonlocal systems of balance laws in several space dimensions with applications to laser technology ». In : *SIAM Journal on Applied Mathematics* 80.4 (2020), p. 1839-1861. DOI : [10.1137/19M1268525](https://doi.org/10.1137/19M1268525).
- [7] R. M. COLOMBO, F. MARCELLINI et E. ROSSI. « Nonlocal traffic flow models with time delay ». In : *Networks and Heterogeneous Media* 18.2 (2023), p. 407-433. DOI : [10.3934/nhm.2023017](https://doi.org/10.3934/nhm.2023017).
- [8] C. CONG MINH. « Deceleration Models of Motorcycles at Signalized Intersections ». In : *85th Annual Meeting of the Transportation Research Board*. Washington, D.C., 2006.
- [9] C. F. DAGANZO. « The cell transmission model, part II: Network traffic ». In : *Transportation Research Part B: Methodological* 29.2 (1995), p. 79-93. DOI : [10.1016/0191-2615\(94\)00022-R](https://doi.org/10.1016/0191-2615(94)00022-R).
- [10] DANNE INSTITUTE FOR RESEARCH et FINANCIAL DERIVATIVES COMPANY. *Economic Costs of Traffic Congestion in Lagos*. Research Report. Study estimates: (1) N3,834,340,158,870 annual economic cost to businesses; (2) Individuals lose 2.21 hours daily commuting; (3) Public transport users spend N79,039.40 extra annually; (4) Car owners spend N133,978.68 extra on fuel annually. Danne Institute for Research, 2020. URL : <https://danneinstitute.org/publications/always-go-with-a-smile-4/> (visité le 20/10/2025).

- [11] X. DI, H. X. LIU et X. BAN. « Second-order traffic flow models on road networks ». In : *Transportation Research Part C: Emerging Technologies* 159 (2024), p. 104382. DOI : [10.1016/j.trc.2024.104382](https://doi.org/10.1016/j.trc.2024.104382).
- [12] M. DI FRANCESCO et M. D. ROSINI. « Rigorous derivation of nonlinear scalar conservation laws from follow-the-leader type models via many particle limit ». In : *SIAM Journal on Applied Mathematics* 73.5 (2015), p. 2044-2068. DOI : [10.1137/130941754](https://doi.org/10.1137/130941754).
- [13] R. DONATUS, K. TER, O.-O. AJAYI et D. UDEKWE. *Multi-Agent Reinforcement Learning in Intelligent Transportation Systems: A Comprehensive Survey*. arXiv preprint arXiv:2508.20315. 2025. arXiv : [2508.20315 \[cs.LG\]](https://arxiv.org/abs/2508.20315).
- [14] S. FAN. « Heterogeneous multiclass traffic flow model with creeping ». Thèse de doct. Temple University, 2015.
- [15] S. FAN, M. HERTY et B. SEIBOLD. « Comparative model accuracy of a hyperbolic traffic flow model ». In : *SIAM Journal on Applied Mathematics* 74.3 (2014), p. 867-883. DOI : [10.1137/130924236](https://doi.org/10.1137/130924236).
- [16] G. M. FOUSSENI, Z.-z. YANG et D.-d. XIA. « Strategies for Sustainable Urban Transport: A Case Study of Cotonou, Benin ». In : *International Journal of Engineering Research in Africa* 13 (2014), p. 9-20. DOI : [10.4028/www.scientific.net/JERA.13.9](https://doi.org/10.4028/www.scientific.net/JERA.13.9).
- [17] M. GARAVELLO et B. PICCOLI. *Traffic flow on networks*. T. 1. AIMS Series on Applied Mathematics. American Institute of Mathematical Sciences, 2006.
- [18] F. GOMINA. « Urban Transport Issues in Cotonou: Analysis and Perspectives ». In : *Advanced Materials Research* 850-851 (2013), p. 1118-1124. DOI : [10.4028/www.scientific.net/AMR.850-851.1118](https://doi.org/10.4028/www.scientific.net/AMR.850-851.1118).
- [19] B. D. GREENSHIELDS. « A study of traffic capacity ». In : *Highway Research Board Proceedings*. T. 14. 1935, p. 448-477.
- [20] M. HERTY et A. KLAR. « Modeling, simulation, and optimization of traffic flow networks ». In : *SIAM Journal on Scientific Computing* 25.3 (2003), p. 1066-1087. DOI : [10.1137/S1064827502417141](https://doi.org/10.1137/S1064827502417141).
- [21] H. HOLDEN et N. H. RISEBRO. *Front Tracking for Hyperbolic Conservation Laws*. 2nd. Universitext. Springer-Verlag, 2015.
- [22] A. I. HUSSEIN, T. SAYED et W. R. YOUSSEF. « Impact of Pavement Defects on Traffic Operational Performance ». In : *Sustainability* 15.10 (2023), p. 8293. DOI : [10.3390/su15108293](https://doi.org/10.3390/su15108293).
- [23] D. JOLLY, Y. FORSTER et M. L. NIVET. « Evaluation of two-wheel vehicle riders' risk perception in traffic situations ». In : *Accident Analysis and Prevention* 37.6 (2005), p. 1131-1138. DOI : [10.1016/j.aap.2005.03.017](https://doi.org/10.1016/j.aap.2005.03.017).
- [24] Z. H. KHAN et T. A. GULLIVER. « A macroscopic traffic model for traffic flow harmonization ». In : *European Transport Research Review* 13.1 (2021), p. 1-27. DOI : [10.1186/s12544-021-00484-5](https://doi.org/10.1186/s12544-021-00484-5).

- [25] A. KHELIFI, M. BALAC et S. HÖRL. « Multi-agent reinforcement learning for traffic signal control: A review ». In : *Transportation Research Part C: Emerging Technologies* 153 (2023), p. 104201. DOI : [10.1016/j.trc.2023.104201](https://doi.org/10.1016/j.trc.2023.104201).
- [26] A. KOCATEPE, V. E. UZ et S. F. KALYONCUOGLU. « Effects of pavement surface deformations on traffic flow ». In : *Transport* 34.1 (2019), p. 1-12. DOI : [10.3846/transport.2019.0001](https://doi.org/10.3846/transport.2019.0001).
- [27] M. KOLAT, B. KŐVÁRI, T. BÉCSI et S. ARADI. « Multi-Agent Reinforcement Learning for Traffic Signal Control: A Cooperative Approach ». In : *Sustainability* 15.4 (2023), p. 3479. DOI : [10.3390/su15043479](https://doi.org/10.3390/su15043479).
- [28] LAGOS URBAN DEVELOPMENT INITIATIVE (LUDI). *Traffic Study Report*. Rapp. tech. Lagos Urban Development Initiative, 2020. URL : <https://ludi.org.ng/wp-content/uploads/2020/05/TRAFFIC-STUDY-REPORT.pdf>.
- [29] LAGOS URBAN DEVELOPMENT INITIATIVE (LUDI). *Traffic Study Report*. Rapp. tech. Lagos Urban Development Initiative, 2020. URL : <https://ludi.org.ng/wp-content/uploads/2020/05/TRAFFIC-STUDY-REPORT.pdf>.
- [30] J.-P. LEBACQUE. « The Godunov scheme and what it means for first order traffic flow models ». In : *Proceedings of the 12th International Symposium on Transportation and Traffic Theory*. Elsevier, 1993, p. 1-11.
- [31] J.-P. LEBACQUE. « The Godunov scheme and what it means for first order traffic flow models ». In : *Transportation and Traffic Theory. Proceedings of the 13th International Symposium on Transportation and Traffic Theory*. Sous la dir. de J.-B. LESORT. Pergamon, 1996, p. 647-677.
- [32] T.-C. LEE. « An Agent-Based Model to Simulate Motorcycle Behavior in Mixed Traffic Flow ». Thèse de doct. Imperial College London, UK, 2008. URL : <http://www.cts.cv.ic.ac.uk/documents/theses/LeePhD.pdf>.
- [33] T.-C. LEE, J. W. POLAK et M. G. H. BELL. « New Approach to Modeling Mixed Traffic Containing Motorcycles in Urban Areas ». In : *Transportation Research Record* 2114.1 (2009), p. 62-71. DOI : [10.3141/2114-08](https://doi.org/10.3141/2114-08).
- [34] M. J. LIGHTHILL et G. B. WHITHAM. « On kinematic waves I. Flood movement in long rivers ». In : *Proceedings of the Royal Society of London. Series A. Mathematical and Physical Sciences* 229.1178 (1955), p. 281-316. DOI : [10.1098/rspa.1955.0088](https://doi.org/10.1098/rspa.1955.0088).
- [35] T. LING, S. CHANUT et J.-P. LEBACQUE. « Multi-class first-order traffic model with polynomial fundamental diagram ». In : *Procedia - Social and Behavioral Sciences* 17 (2011), p. 157-167. DOI : [10.1016/j.sbspro.2011.08.023](https://doi.org/10.1016/j.sbspro.2011.08.023).
- [36] J. MENG, S. DAI, L. DONG et J. ZHANG. « Cellular Automaton Model for Mixed Traffic Flow with Motorcycles ». In : *Physica A: Statistical Mechanics and Its Applications* 380 (2007), p. 470-480. DOI : [10.1016/j.physa.2007.02.070](https://doi.org/10.1016/j.physa.2007.02.070).

- [37] H. NGUYEN, R. BENTON et al. « Motorcycle traffic flow modeling in congested urban networks ». In : *Transportation Research Part C: Emerging Technologies* 25 (2012), p. 78-92. DOI : [10.1016/j.trc.2012.05.005](https://doi.org/10.1016/j.trc.2012.05.005).
- [38] T. RAMBHA. *CE 269 Traffic Flow Theory: Lecture 12*. Rapp. tech. Indian Institute of Technology, 2020.
- [39] P. I. RICHARDS. « Shock Waves on the Highway ». In : *Operations Research* 4.1 (1956), p. 42-51. DOI : [10.1287/opre.4.1.42](https://doi.org/10.1287/opre.4.1.42).
- [40] S. SAUMTALLY. « Traffic management in developing countries ». In : *Transportation Research Part A: Policy and Practice* 46.1 (2012), p. 1-10. DOI : [10.1016/j.tra.2011.09.004](https://doi.org/10.1016/j.tra.2011.09.004).
- [41] D. SERMPIS, I. SPYROPOULOU et J. GOLIAS. « Investigation of the Two-Wheel Vehicle Movement at Urban Signal-Controlled Junctions ». In : *Transportation Research Board 84th Annual Meeting*. Washington, DC, USA, 2005.
- [42] S. SWAPNO, S. NOBEL, P. MEENA et V. MEENA. « A reinforcement learning approach for reducing traffic congestion using deep Q learning ». In : *Scientific Reports* 14.1 (2024), p. 75638. DOI : [10.1038/s41598-024-75638-0](https://doi.org/10.1038/s41598-024-75638-0).
- [43] G. TIWARI, S. BANGDIWALA, A. SARASWAT et S. GAURAV. « Survival analysis: pedestrian risk exposure at signalized intersections ». In : *Journal of Safety Research* 38.4 (2007), p. 417-426. DOI : [10.1016/j.jsr.2007.03.008](https://doi.org/10.1016/j.jsr.2007.03.008).
- [44] G. C. K. WONG et S. C. WONG. « A multi-class traffic flow model – an extension of LWR model with heterogeneous drivers ». In : *Transportation Research Part B: Methodological* 36.6 (2002), p. 507-539. DOI : [10.1016/S0191-2615\(01\)00010-8](https://doi.org/10.1016/S0191-2615(01)00010-8).
- [45] X. YU, Y. WANG et Z. LIU. « Traffic flow prediction using deep learning: A comprehensive review ». In : *Transportation Research Part C: Emerging Technologies* 160 (2024), p. 104523. DOI : [10.1016/j.trc.2024.104523](https://doi.org/10.1016/j.trc.2024.104523).
- [46] H. M. ZHANG. « A non-equilibrium traffic model devoid of gas-like behavior ». In : *Transportation Research Part B: Methodological* 36.3 (2002), p. 275-290. DOI : [10.1016/S0191-2615\(00\)00050-3](https://doi.org/10.1016/S0191-2615(00)00050-3).